

Apport des collections
du Muséum national d'Histoire naturelle
et de Didier Morin à la connaissance des *Batrachideinae*
et *Lophotettiginae* (Orthoptera, Tettigidae) de Guyane

Raphaëlle ITRAC-BRUNEAU & Guillaume DOUCET

DIRECTEUR DE LA PUBLICATION / *PUBLICATION DIRECTOR*: Gilles Bloch
Président du Muséum national d'Histoire naturelle

RÉDACTRICE EN CHEF / *EDITOR-IN-CHIEF*: Laure Desutter-Grandcolas

ASSISTANTE DE RÉDACTION / *ASSISTANT EDITOR*: Anne Mabilille (zoosyst@mnhn.fr)

MISE EN PAGE / *PAGE LAYOUT*: Anne Mabilille

COMITÉ SCIENTIFIQUE / *SCIENTIFIC BOARD*:

Nesrine Akkari (Naturhistorisches Museum, Vienne, Autriche)
Maria Marta Cigliano (Museo de La Plata, La Plata, Argentine)
Serge Gofas (Universidad de Málaga, Málaga, Espagne)
Sylvain Hugel (CNRS, Université de Strasbourg, France)
Marco Isaia (Università degli Studi di Torino, Turin, Italie)
Rafael Marquez (CSIC, Madrid, Espagne)
Jose Christopher E. Mendoza (Lee Kong Chian Natural History Museum, Singapour)
Annemarie Ohler (MNHN, Paris, France)
Jean-Yves Rasplus (INRA, Montferrier-sur-Lez, France)
Wanda M. Weiner (Polish Academy of Sciences, Cracovie, Pologne)

COUVERTURE / *COVER*:

Boîte de collection de Tetrigidae de Guyane. Photo : Guillaume Doucet.

Zoosystema est indexé dans / *Zoosystema is indexed in*:

- Science Citation Index Expanded (SciSearch®)
- ISI Alerting Services®
- Current Contents® / Agriculture, Biology, and Environmental Sciences®
- Scopus®

Zoosystema est distribué en version électronique par / *Zoosystema is distributed electronically by*:

- BioOne® (<http://www.bioone.org>)

Les articles ainsi que les nouveautés nomenclaturales publiés dans *Zoosystema* sont référencés par /
Articles and nomenclatural novelties published in Zoosystema are referenced by:

- ZooBank® (<http://zoobank.org>)

Zoosystema est une revue en flux continu publiée par les Publications scientifiques du Muséum, Paris / *Zoosystema is a fast track journal published by the Museum Science Press, Paris*

Les Publications scientifiques du Muséum publient aussi / *The Museum Science Press also publish*:

Adansonia, Geodiversitas, Anthropolozologica, European Journal of Taxonomy, Naturae, Cryptogamie sous-sections *Algologie, Bryologie, Mycologie, Comptes Rendus Palevol*.

Diffusion – Publications scientifiques Muséum national d'Histoire naturelle
CP 41 – 57 rue Cuvier F-75231 Paris cedex 05 (France)
Tél. : 33 (0)1 40 79 48 05 / Fax: 33 (0)1 40 79 38 40
diff.pub@mnhn.fr / <https://sciencepress.mnhn.fr>

© Publications scientifiques du Muséum national d'Histoire naturelle, Paris, 2023
ISSN (imprimé / *print*): 1280-9551/ ISSN (électronique / *electronic*): 1638-9387

Apport des collections du Muséum national d'Histoire naturelle et de Didier Morin à la connaissance des *Batrachideinae* et *Lophotettiginae* (Orthoptera, Tetrigidae) de Guyane

Raphaëlle ITRAC-BRUNEAU
Guillaume DOUCET

22 rue de la Grette, F-25000 Besançon (France)
r.itracbruneau@yahoo.fr
guillaume.doucet@yahoo.fr

Soumis le 23 février 2023 | Accepté le 15 mai 2023 | Publié le 24 octobre 2023

urn:lsid:zoobank.org:pub:D4C101B2-7B7D-4110-AC02-CBC936EF3D1F

Itrac-Bruneau R. & Doucet G. 2023. — Apport des collections du Muséum national d'Histoire naturelle et de Didier Morin à la connaissance des *Batrachideinae* et *Lophotettiginae* (Orthoptera, Tetrigidae) de Guyane. *Zoosystema* 45 (20): 601-634. <https://doi.org/10.5252/zoosystema2023v45a20>. <http://zoosystema.com/45/20>

RÉSUMÉ

Deux importantes collections de Tetrigidae Rambur, 1838 renfermant plus de 1 000 individus en provenance de Guyane ont été consultées et révisées afin de compléter la connaissance de ce groupe sur ce territoire. Compte-tenu du volume important de spécimens à traiter, les analyses se sont concentrées sur deux sous-familles, les *Batrachideinae* Bolívar, 1887 et les *Lophotettiginae* Hancock, 1909, soit 489 individus dont 456 ont pu être identifiés à l'espèce. Les résultats font état de la présence de 14 taxons, dont 11 nouveaux pour le département et quatre nouveaux pour la science et décrits dans cet article : *Paurotarsus pennatulus* n. sp., *Scaria guyanensis* Doucet & Itrac-Bruneau, n. sp., *Scaria macromaculata* Doucet & Itrac-Bruneau, n. sp. et *Scaria madeleinae* n. sp. En outre, la femelle de *Phelene maroon* Cadena-Castañeda & Tumbrinck, 2021 et le mâle de *Tettigidea pulchella* Rehn, 1904, inconnus à ce jour, sont décrits grâce à ce matériel. Suite à ces nombreux apports, une nouvelle clé d'identification pour les deux sous-familles étudiées est proposée.

ABSTRACT

*Contribution of the collections of the Muséum national d'Histoire naturelle and Didier Morin to the knowledge of the *Batrachideinae* and *Lophotettiginae* (Orthoptera, Tetrigidae) of French Guiana.*

Two important collections of Tetrigidae Rambur, 1838 containing more than 1000 individuals from French Guiana were consulted and revised in order to complete the knowledge of this group in this area. Given the large number of specimens to be treated, the analyses focussed in a first time on two subfamilies, *Batrachideinae* Bolívar, 1887 and *Lophotettiginae* Hancock, 1909, representing 489 individuals of which 456 were identified to species level. The results show the presence of 14 taxa, of which 11 are new to the department and four are new to science and described in this article: *Paurotarsus pennatulus* n. sp., *Scaria guyanensis* Doucet & Itrac-Bruneau, n. sp., *Scaria macromaculata* Doucet & Itrac-Bruneau, n. sp. and *Scaria madeleinae* n. sp. In addition, the female of *Phelene maroon* Cadena-Castañeda & Tumbrinck, 2021 and the male of *Tettigidea pulchella* Rehn, 1904, unknown until now, are described thanks to this material. As a result of these numerous contributions, a new identification key for the two studied subfamilies is proposed.

MOTS CLÉS
Région néotropicale,
criquets pygmées,
clé d'identification,
Paurotarsus,
Scaria,
signalisations nouvelles,
espèces nouvelles.

KEY WORDS
Neotropical region,
pygmy grasshoppers,
identification key,
Paurotarsus,
Scaria,
new records,
new species.

INTRODUCTION

Une première synthèse sur les Tetrigidae Rambur, 1838 de Guyane prenant en compte des données bibliographiques et de terrain a été réalisée en 2022 (Itrac-Bruneau & Doucet 2022). L'analyse a permis de recenser 14 taxons pour le département appartenant à quatre sous-familles (Batrachideinae Bolívar, 1887, Lophotettiginae Hancock, 1909, Metrodorinae Bolívar, 1887 et Tetriginae Rambur, 1838) : *Allotettix cayennensis* (Bolívar, 1887), *Amorphopus notabilis* Serville, 1838, *Danielatettix caudatus* (Saussure, 1861), *Eomorphopus granulatus* Hancock, 1907, *Lophotettix unicoloratus* Hancock, 1909, *Metrodora arcuata* (Bruner, 1920), *Metrodora uniformis* (Bruner, 1910), *Otumba amazonica* (Bolívar, 1887), *Otumba concinna* (Bolívar, 1887), *Otumba lobata* Hancock in Bruner, 1910, *Paurotarsus ruficornis* (Walker, 1871), *Phelene maroon* Cadena-Castañeda & Tumbrinck, 2021, *Scaria* sp. et *Tettigidea claudei* Itrac-Bruneau & Doucet, 2022. Afin d'améliorer la connaissance de ce groupe méconnu sur ce territoire, il était préconisé d'analyser les collections existantes et en particulier celle du Muséum national d'Histoire naturelle (MNHN), qui conserve dans ses locaux de Paris une collection conséquente de Tetrigidae de Guyane collectés depuis le début du XX^e siècle, dans le but de compléter non seulement la liste des espèces répertoriées mais également de préciser leur distribution. En outre, de par sa taille importante, la collection de Tetrigidae de Guyane de Didier Morin a également été consultée. Ces deux collections rassemblant à elles seules plus de 1 000 spécimens, il a été décidé de se concentrer dans un premier temps uniquement sur les trois sous-familles ayant bénéficié d'une révision complète, soit 489 individus, notamment afin de faciliter les travaux d'identification : les Batrachideinae (Cadena-Castañeda *et al.* 2019; Silva *et al.* 2021), les Cladonotinae Bolívar, 1887 (Silva *et al.* 2019a) – si des individus de cette sous-famille venaient à être découverts –, ainsi que les Lophotettiginae (Silva *et al.* 2019b; Cadena-Castañeda *et al.* 2021; Kasalo *et al.* 2022).

Le groupe le plus représenté dans ces deux collections est celui des Batrachideinae (364 spécimens), suivi des Lophotettiginae (125 spécimens). Parmi ceux-ci, seuls 29 juvéniles (tous des Batrachideinae) non identifiables à l'espèce, ainsi qu'un adulte trop abîmé pour être identifié de manière certaine ont été dénombrés. À ceux-ci s'ajoutent trois individus appartenant à trois taxons distincts de la tribu des Batrachideini Bolívar, 1887 qui nécessitent des investigations et du matériel complémentaires pour aboutir à une identification ou une description satisfaisante (Niko Kasalo et Josip Skejo, comm. pers.). Ces 33 spécimens non déterminés à l'espèce ont été écartés des résultats présentés ci-après. Au total, 456 adultes ont été identifiés à l'espèce, répartis en 14 taxons distincts dont 11 sont nouveaux pour la Guyane et quatre sont nouveaux pour la science (*Paurotarsus pennatulus* n. sp., *Scaria guyanensis* Doucet & Itrac-Bruneau, n. sp., *Scaria macromaculata* Doucet & Itrac-Bruneau, n. sp. et *Scaria madeleineae* n. sp.). En outre, ce matériel a permis de décrire la femelle de *Phelene maroon* Cadena-Castañeda & Tumbrinck, 2021 et de redécrire le mâle de *Tettigidea pulchella* Rehn, 1904.

Les spécimens étudiés proviennent de 44 stations réparties sur 15 des 22 communes du département (Fig. 1). Cinq stations ont fourni plus de 10 individus et représentent à elles seules plus de 80 % du matériel examiné : trois autour du Saut Pararé dans la Réserve naturelle nationale des Nouragues à Régina, la carrière du Galion à Roura et le belvédère de Saül.

REMARQUE

Auparavant classé dans la sous-famille des Cladonotinae, le genre *Cota* Bolívar, 1887, pour lequel 15 adultes conservés dans la collection Didier Morin ont été examinés et déterminés, est dorénavant classé parmi les Metrodorinae Bolívar, 1887 (Kasalo *et al.* 2023b). Il n'a donc pas été inclus dans cet article et aucun exemplaire de Cladonotinae n'a ainsi été trouvé dans les collections consultées. Cette sous-famille n'étant jusqu'ici représentée en Amérique du Sud que par les genres *Cota* et *Eleleus* Bolívar, 1887 (Silva *et al.* 2019a), les conclusions de l'étude de Kasalo *et al.* (2023b) montrent également l'absence de Cladonotinae dans cette partie du globe, excepté *Eleleus curtus* Bolívar, 1887, connu d'un unique spécimen du Brésil.

MATÉRIEL ET MÉTHODES

ORIGINE DES INDIVIDUS ÉTUDIÉS

Collection MNHN

Le matériel examiné, constitué de 163 spécimens en très bon état de conservation, collecté entre le début du XX^e siècle et 2015, provient majoritairement des campagnes d'exploration suivantes :

1) La mission d'exploration entomologique du MNHN en Guyane, conçue et dirigée par le professeur Alfred Serge Balachowsky, avec l'étroite collaboration de Lucas Gruner et Janine Charpentier. Réalisée entre octobre et décembre 1969, elle avait pour but d'étudier spécifiquement la faune entomologique, dont les connaissances étaient jusqu'alors considérées comme superficielles malgré l'extrême intérêt et la très grande richesse de ce territoire (Balachowsky 1970). Seule une dizaine d'exemplaires de Tetrigidae visés dans le cadre de notre étude ont été collectés au cours de cette mission et déposés dans les collections du MNHN.

2) La mission entomologique en Guyane de Michel Boulard, divisée en deux périodes distinctes : une période préparatoire du 5 août au 4 septembre 1975 (des environs de Kourou puis de Mana sur la côte à la région de Saint-Élie à l'intérieur des terres), et la mission proprement dite du 1^{er} novembre au 20 décembre 1975 (le Maroni, et sa première composante importante, l'Itany, jusqu'à la confluence de celui-ci avec la Waremaapan au Suriname ont été remontés en pirogue). Les régions de Saint-Élie, du Haut-Maroni et de l'Itany ont été choisies comme pouvant faire suite à la première mission d'exploration entomologique du MNHN en Guyane menée par le professeur A. S. Balachowsky en 1969 (Boulard 1979). Malgré les moyens déployés et les objectifs fixés, seul un individu appartenant aux groupes étudiés a été prélevé, ce qui tend à montrer la difficulté de détection et de collecte de ces minuscules Caelifères.

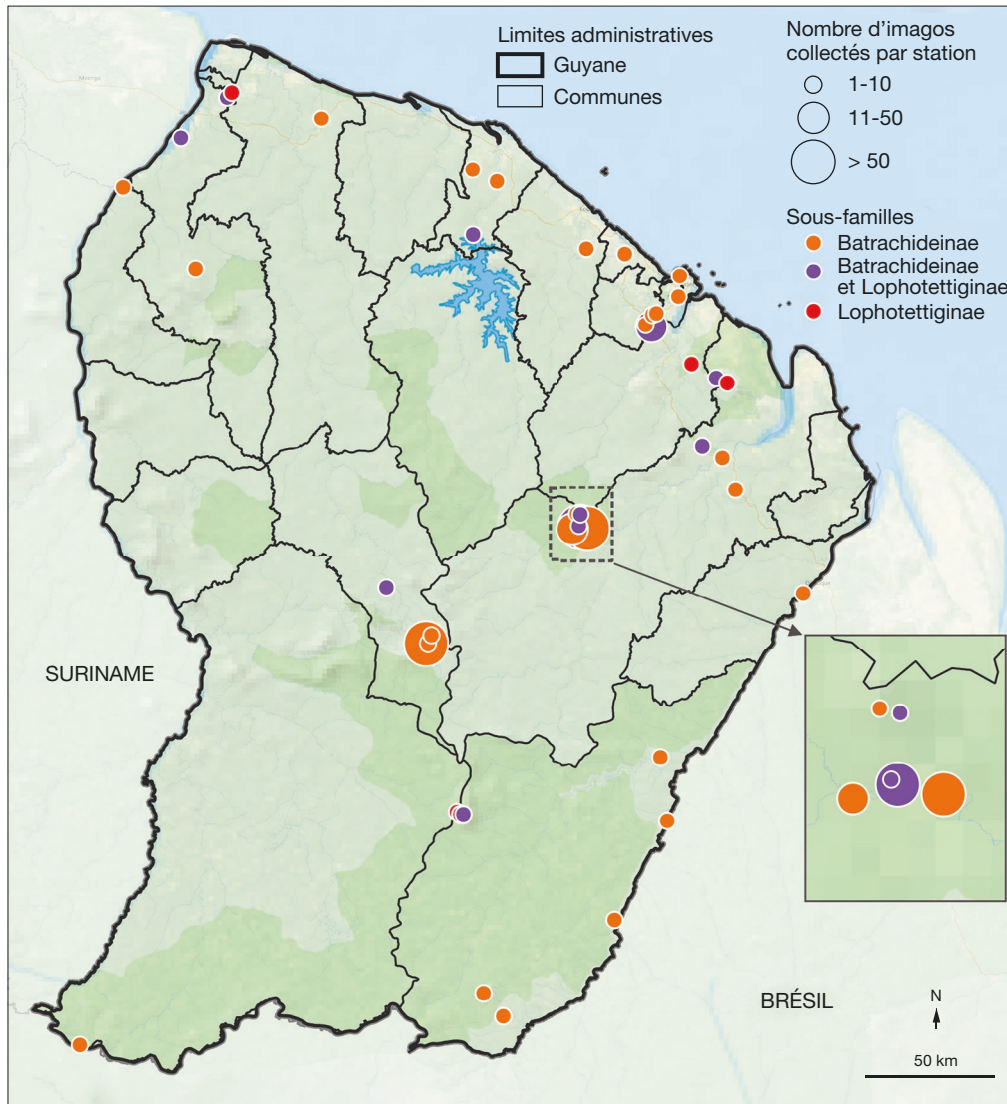


FIG. 1. — Nombre d'adultes de *Batrachideinae* Bolívar, 1887 et *Lophotettiginae* Hancock, 1909 collectés par station. Sources : Wikimedia Maps © les contributeurs d'OpenStreetMap sous licence ODbL. Réalisé avec Qgis.

3) L'expédition pluridisciplinaire du MNHN en Guyane (ainsi qu'en Colombie et au Pérou), au cours de laquelle ont été étudiés, notamment par Marius Descamps, les espèces dendrophiles d'Acridomorphes (groupe de plusieurs superfamilles appartenant aux Caelifères dont quatre sont présentes en Amérique du Sud : *Acridoidea* MacLeay, 1821, *Eumastacoidea* Burr, 1899, *Proscopioidea* Serville, 1838 et *Pyrgomorphoidea* Brunner von Wattenwyl, 1874). La méthode de collecte a consisté en une chasse au filet dans les amoncellements au sol qui résultent d'arbres fraîchement abattus afin de collecter les espèces vivant dans la canopée. Cette expédition s'est divisée en deux missions de terrain : une première couvrant la période de mars à avril 1976 et organisée dans la région du haut Oyapock (Trois Sauts et montagne Saint-Marcel) et une seconde couvrant la période allant de juillet à octobre 1977 à Sinnamary (km 20-25 route de Saint-Élie), Régina et surtout Pied Saut Pararé sur la rivière Arataye, affluent de

l'Approuague (Descamps 1977, 1978). Près de 30 individus appartenant aux deux sous-familles étudiées ont été rapportés de cette expédition.

4) Le travail de terrain mené en 1988 par Laure Desutter dans le cadre de sa thèse portant sur l'étude phylogénétique, biogéographique et écologique des Grylloidea néotropicaux (Desutter 1990). Près de 100 spécimens appartenant aux groupes étudiés ont été capturés à cette occasion, majoritairement par de la chasse à vue mais également en prospectant juste après l'abattage d'arbres par des sociétés forestières pour collecter de manière concomitante les espèces vivant sur les troncs et dans la canopée (Laure Desutter-Grandcolas, comm. pers.).

5) L'expédition naturaliste « La Planète Revisitée » organisée par le MNHN et l'ONG Pro-Natura international au sein du Parc amazonien de Guyane dans le massif du Mitaraka (extrême sud-ouest de la Guyane) en février-mars et août 2015. Plusieurs objectifs étaient fixés, dont les principaux étaient focalisés sur

la découverte de nouvelles espèces pour la science et pour la Guyane (Touroult *et al.* 2018, 2021). Les groupes suivants ont été inventoriés par plus de 50 scientifiques : Actinoptérygiens, Amphibiens, Annélides, Arachnides, Insectes, Mollusques et Squamates, avec un effort particulier sur les ordres à la fois riches et méconnus, comme les Coléoptères, Diptères, Hémiptères et Hyménoptères. Sur les 20 Tetrigidae collectés par Frédéric Legendre et Sylvain Hugel durant cette expédition et déposés au MNHN, cinq correspondent aux sous-familles étudiées.

Pour les autres exemplaires présents (une vingtaine), aucune information n'est disponible sur le cadre de la collecte.

Collection Didier Morin

La collection de Didier Morin est une collection privée qui rassemble près de 690 individus de Tetrigidae provenant de Guyane, dont 326 appartenant aux deux sous-familles étudiées. La quasi totalité des spécimens a été collectée entre 2007 et 2014 par la Société entomologique Antilles-Guyane (SEAG) puis confiée à Didier Morin pour conservation, identification et valorisation.

La qualité de conservation très hétérogène des spécimens (problème de corrosion d'aiguilles, présence de moisissures et dégâts d'anhrènes) a rendu l'analyse d'une partie du matériel délicate.

PRÉCISION GÉOGRAPHIQUE DES DONNÉES

Pour réaliser différentes cartographies, une localisation a été attribuée à chaque spécimen sur la base des données figurant sur les étiquettes qui l'accompagne. Certaines localisations sont précises (coordonnées géographiques ou indications suffisamment détaillées pour être considérées comme telle), d'autres sont plus approximatives et ont été attribuées à un lieu-dit, enfin quelques-unes ne possédant qu'une information communale ont été rattachées au centroïde de cette dernière.

Pour localiser les toponymes qui ne sont plus usités aujourd'hui, l'ouvrage de Hoff & Cremers (1996), qui donne des informations sur plus de 1 400 noms de lieux de récoltes botaniques en Guyane française depuis 1763 jusqu'à 1994, a été consulté.

Enfin, pour certains individus, aucune information concernant les communes de collecte n'était indiquée. Celles-ci ont donc été déduites à partir des autres renseignements présents (lieux-dits notamment) et notées entre crochets dans les listes par espèce de matériel examiné.

SYSTÉMATIQUE

La nomenclature et la systématique retenues sont celles de Cigliano *et al.* (2023). La nomenclature des nouvelles espèces décrites suit quant à elle les recommandations du Code international de Nomenclature zoologique (International Commission on Zoological Nomenclature 1999).

TERMINOLOGIE ET MESURES

La terminologie utilisée pour les détails morphologiques et les mesures proviennent des travaux de Devriese (1996), Tumbrinck (2014), Storozhenko & Pushkar (2017) et Itrac-Bruneau & Doucet (2022). Les mesures ont été réalisées à l'aide d'une loupe binoculaire équipée d'un oculaire micrométrique gradué.

ABRÉVIATIONS

Institutions

MCR Museo Civico di Rovereto, Rovereto;
MNHN Muséum national d'Histoire naturelle, Paris.

Collection

Coll. DM coll. Didier Morin, Lablachère.

Association

SEAG Société entomologique Antilles-Guyane.

Morphologie et mesures

DPT distance entre la marge antérieure du pronotum et le sinus tegminal;
EIO espace interoculaire;
HVDO hauteur de la valve dorsale de l'ovipositeur (épines incluses);
LADS longueur de l'avant-dernier sternite;
LAP longueur des ailes postérieures;
LC longueur du corps, de l'apex du fastigium à la partie postérieure du pronotum;
LFA longueur des fémurs antérieurs (l'épine postérieure n'a pas été prise en compte);
LFM longueur des fémurs médians (l'épine postérieure n'a pas été prise en compte);
LFP longueur des fémurs postérieurs;
LOVI longueur de l'ovipositeur;
LP longueur du pronotum (épine incluse);
LPSG longueur de la plaque sous-génitale;
LT longueur du tegmen;
LT1PP longueur du 1^{er} article du tarse de la patte postérieure;
LT3PP longueur du 3^e article du tarse de la patte postérieure;
LTT longueur de la tache du tegmen;
WFA largeur des fémurs antérieurs;
WFM largeur des fémurs médians;
WFP largeur des fémurs postérieurs;
WO largeur d'un œil;
WT largeur de la tête.

LISTE DES ESPÈCES ÉTUDIÉES

Lophotettix alticristatus Hancock, 1909
Lophotettix hancocki (Bruner, 1910)
Paurotarsus insolitus Rehn, 1916
Paurotarsus pennatulus n. sp.
Paurotarsus ruficornis (Walker, 1871)
Phelene maroon Cadena-Castañeda & Tumbrinck, 2021
Phelene turgida (Bolívar, 1887)
Scaria guyanensis Doucet & Itrac-Bruneau, n. sp.
Scaria hamata (De Geer, 1773)
Scaria macromaculata Doucet & Itrac-Bruneau, n. sp.
Scaria madeleinae n. sp.
Scaria producta Hancock, 1907
Tettigidea claudei Itrac-Bruneau & Doucet, 2022
Tettigidea pulchella Rehn, 1904

DISTRIBUTION

Les espèces nouvelles pour la Guyane sont signalées par un astérisque.

RÉSULTATS

Ordre ORTHOPTERA Olivier, 1789
 Sous-ordre CAELIFERA Ander, 1939
 Super-famille TETRIGOIDEA Rambur, 1838
 Famille TETRIGIDAE Rambur, 1838
 Sous-famille BATRACHIDEINAE Bolívar, 1887
 Tribu Batrachideini Bolívar, 1887
 Genre *Paurotarsus* Hancock, 1900

*Paurotarsus insolitus** Rehn, 1916
 (Fig. 15C)

Paurotarsus insolitus Rehn, 1916: 271. — Grant 1955: 6. — Silva *et al.* 2021: 16.

LOCALITÉ TYPE. — Brésil, Région du Nord, Rio Madeira, Madeira-Mamoré Railroad Camp 43.

DISTRIBUTION. — Panama, Colombie, Trinité-et-Tobago, Guyane, Suriname, Pérou, Brésil (Silva *et al.* 2021; Kasalo *et al.* 2023a) et Guyane (nouveau pour le département).

MATÉRIEL EXAMINÉ. — Guyane • 1 ♂; Saint-Laurent-du-Maroni; piège lumineux; 15.VIII.1992; D. Morin leg.; coll. DM.

REMARQUE

Malgré l'impossibilité de mesurer le rapport de la longueur des tarses 1 et 3 des pattes postérieures (critère principal) en raison de l'absence de ces 2 dernières, l'identification a été possible grâce à l'observation des carènes faciales ainsi que de la forme des fémurs médians (Grant 1955).

Paurotarsus pennatulus n. sp.
 (Figs 2; 3; 15D)

urn:lsid:zoobank.org:act:AB967F61-D6E8-4D7A-B986-20F66A129471

MATÉRIEL TYPE. — **Holotype**. Guyane • 1 ♂; [Camopi], Monts Alikéné, rivière Camopi; 11.XI.1969; Balachowsky-Gruner leg.; MNHN-EO-CAELIF11267.

Allotype. Guyane • 1 ♀; [Maripasoula], Monts Tumuc-Humac, Massif du Mitaraka, prox Borne 1; 2°12'45"N, 54°26'7.8"W; alt. 445 m; nuit; 23.II.-10.III.2015; F. Legendre & S. Hugel leg.; MNHN-EO-CAELIF11268.

Paratypes. Guyane • 1 ♂; [Camopi], Bois Monts Alikéné, rivière Camopi; 11.XI.1969; Balachowsky-Gruner leg.; MNHN-EO-CAELIF11269 • 1 ♀; [Maripasoula], Monts Tumuc-Humac, Massif du Mitaraka, prox Borne 1; 2°12'45"N, 54°26'7.8"W; alt. 445 m; nuit; 23.II.-10.III.2015; F. Legendre & S. Hugel leg.; MNHN-EO-CAELIF11270.

AUTRE MATÉRIEL. — Guyane • 1 ♂; Régina, Petite Montagne Tortue, Terra Firme; 04°19'14.1N, 52°14'27.5W; piège à vitre; 18.V.2010; G. Lamarre leg.; coll. DM.

REMARQUE

En l'état actuel des connaissances, aucun individu de *P. pennatulus* n. sp. n'a été trouvé sur des stations à *P. ruficornis* ou à *P. insolitus* en Guyane.

ÉTYMOLOGIE. — Le nom d'espèce signifie « qui a de petites ailes ».

DIAGNOSE. — Au niveau mondial, deux autres espèces sont présentes au sein du genre *Paurotarsus*: *Paurotarsus insolitus* Rehn, 1916 et *Paurotarsus ruficornis* (Walker, 1871). La distinction avec ces deux espèces est aisée puisqu'elles présentent toutes les deux des ailes antérieures et postérieures bien développées (tegmina réduits, en forme de grain de riz, avec des ailes postérieures les dépassant à peine chez *P. pennatulus* n. sp.), un pronotum dépassant les genoux des pattes postérieures (il est plus court chez *P. pennatulus* n. sp.) ainsi qu'une carène médiane du pronotum plate (elle est légèrement relevée en toit chez *P. pennatulus* n. sp.). En outre, chez *P. insolitus*, les 1^{er} et 3^e articles des tarses des pattes postérieures ont sensiblement la même longueur (1^{er} article plus de deux fois plus long que le 3^e chez *P. pennatulus* n. sp.).

DESCRIPTION

Mâle holotype

Coloration générale (Fig. 2A-C). Corps majoritairement brun. Anneaux clairs bien visibles au niveau des tibias et du dernier article des tarses des pattes antérieures et médianes, et plus discrets sur les tibias postérieurs. Dernier article des palpes maxillaires brun clair.

Tête (Fig. 2B, C). Tête large, aussi large que la partie antérieure du pronotum. Tégument moyennement granuleux sur le vertex et fortement granuleux sur la face. Antennes filiformes composées de 22 articles, le dernier pointu. En vue latérale, côte frontale régulièrement arrondie, sans angle marqué. Carènes faciales atteignant l'extrémité des pédicelles antennaires voire les dépassant très légèrement. Vertex dépassant nettement le dessus des yeux. En vue frontale, antennes insérées légèrement au dessus de la ligne reliant le bas des yeux. Côte frontale bifurquée tôt, au niveau de la ligne reliant le haut des yeux, ses carènes faciales assez fines, divergentes, s'écartant progressivement jusqu'à englober entièrement l'ocelle médian situé nettement sous la ligne reliant le bas des yeux. Vertex bombé entre les deux yeux. Ocelles latéraux de grande taille situés au niveau du milieu des yeux, bien en dessous de la bifurcation de la côte frontale. En vue dorsale, yeux n'atteignant pas l'extrémité du fastigium. Fastigium court. Côte frontale et ocelles latéraux bien visibles dépassant fortement le fastigium. Présence de deux carènes latérales bordant le fastigium. Présence d'un léger dénivelé entre le vertex et le fastigium. Présence de lobes supra-oculaires de forme allongée. Espace interoculaire large (1,08 mm), 1,43 fois plus large que la largeur d'un œil (0,76 mm).

Pronotum (Fig. 2A, B, D). Brachypronotal, l'extrémité du pronotum n'atteignant pas l'extrémité des genoux postérieurs mais recouvrant la quasi intégralité de l'abdomen. Tégument granuleux. En vue dorsale, carène médiane bien visible sur toute sa longueur. Présence de longues carènes latérales légèrement émoussées dans la prozone, parallèles à la carène médiane. Partie antérieure du pronotum légèrement arrondie. Lobes latéraux rectangulaires, dirigés vers le bas, contigus au corps. Sinus ventraux et tegminaux réduits. En vue latérale, carène médiane légèrement saillante sur toute sa longueur. Présence d'un léger décrochement après la prozone.

Ailes (Fig. 2D). Tegmina présents, atrophiés, en forme de grain de riz et sans nervation visible, longs de 1,32 mm. Ailes postérieures non visibles ou absentes.

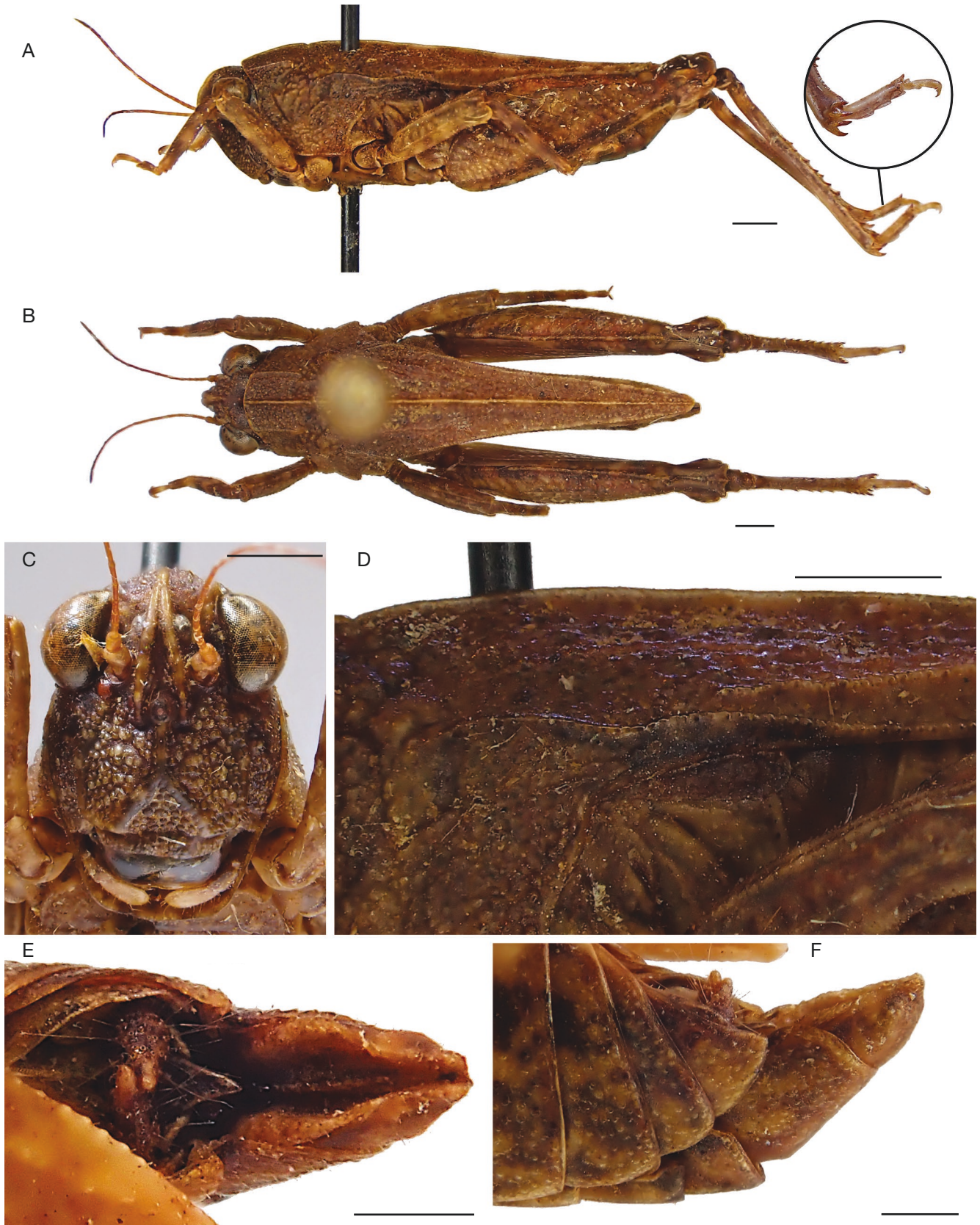


FIG. 2. — *Paurotarsus pennatulus* n. sp. holotype ♂, MNHN-EO-CAELIF11267 : **A**, habitus en vue latérale ; **B**, habitus en vue dorsale ; **C**, tête vue de face ; **D**, partie antérieure du pronotum en vue latérale ; **E**, extrémité de l'abdomen en vue dorsale ; **F**, extrémité de l'abdomen en vue latérale. Photos : G. Doucet. Échelles : A-D, 1 mm ; E, F, 0,5 mm.

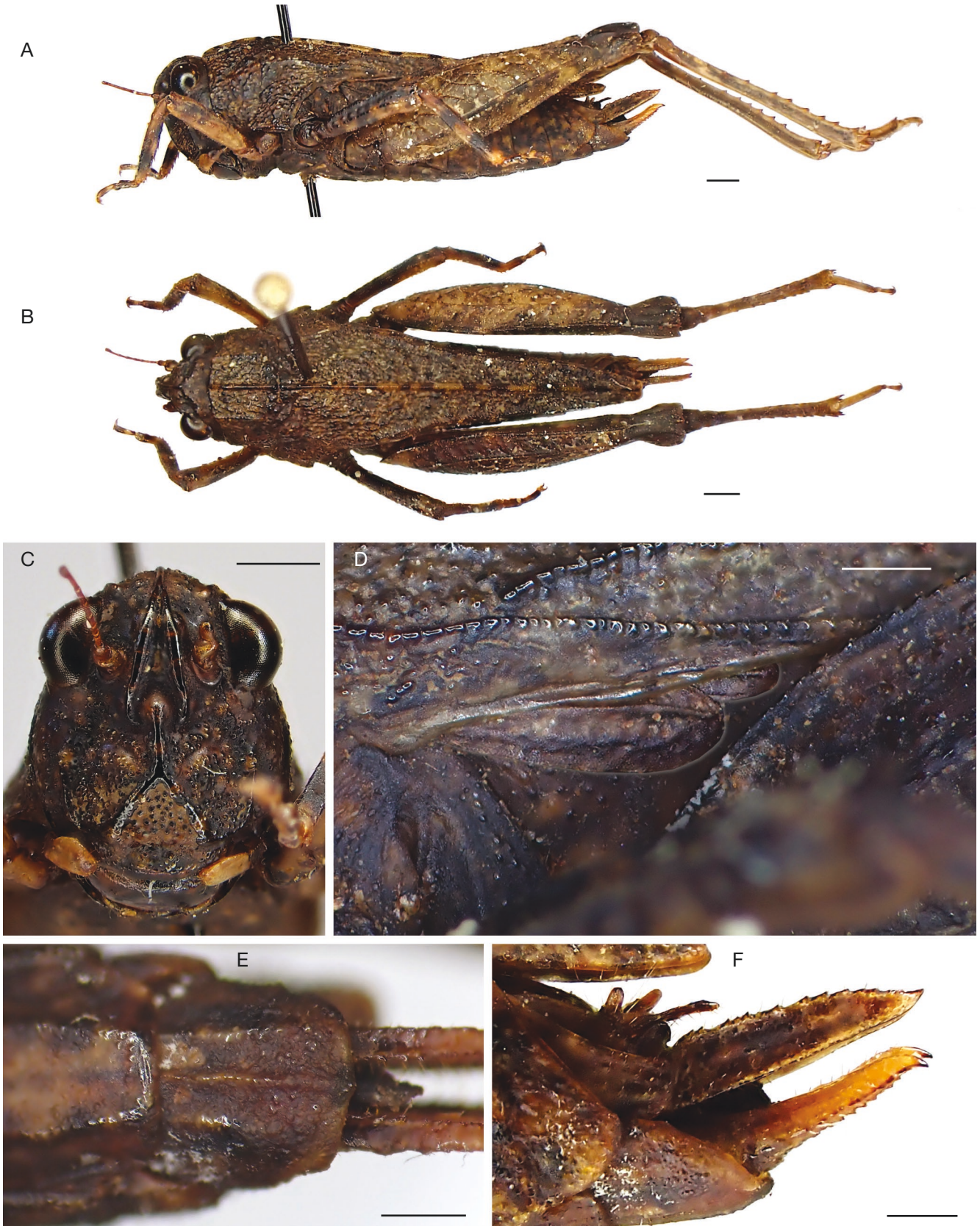


FIG. 3. — *Paurotarsus pennatulus* n. sp. allotype ♀, MNHN-EO-CAELIF11268 : **A**, habitus en vue latérale ; **B**, habitus en vue dorsale ; **C**, tête vue de face ; **D**, tegmen et aile postérieure ; **E**, extrémité de l'abdomen en vue ventrale ; **F**, extrémité de l'abdomen en vue latérale. Photos : G. Doucet. Échelles : A-C, 1 mm ; D-F, 0,5 mm.

Pattes (Fig. 2A). Présence de deux carènes dorsales bien visibles sur les pattes antérieures et médianes. Carènes des fémurs antérieurs et médians très légèrement sinueuses. Fémurs des pattes antérieures trapus, 3,5 fois plus longs que larges. Fémurs des pattes médianes trapus, 3,2 fois plus longs que larges. Fémurs des pattes postérieures trois fois plus longs que larges. Tarses des pattes postérieures avec le premier article (1,20 mm) plus de deux fois plus long que le dernier (0,51 mm).

Abdomen (Fig. 2E, F). Extrémité de l'épiprocte triangulaire. Épiprocte court n'atteignant pas le milieu de la plaque sous-génitale. Cerques coniques et compacts, régulièrement rétrécis depuis la base. En vue dorsale, plaque sous-génitale très échancrée avec un fin sillon médian et terminée par deux petits lobes de part et d'autre du sillon. En vue latérale, plaque sous-génitale allongée, dans le prolongement du segment précédent. En vue ventrale, présence d'une carène médiane depuis l'avant dernier segment jusqu'à l'extrémité de la plaque sous-génitale.

Mensurations. Voir Tableau 1.

Variations observées chez le paratype ♂

Ailes postérieures vestigiales présentes avec nervation visible. Coloration générale variable (plus claire). Échancrure de la plaque sous-génitale moins prononcée (quasi absente).

Femelle allotype

Coloration générale (Fig. 3A-C, F). Corps majoritairement brun foncé. Anneaux clairs bien visibles au niveau des tibias et du dernier article des tarses des pattes antérieures et médianes, et plus discrets sur les tibias postérieurs. Dernier article des palpes maxillaires brun clair. Carène médiane du pronotum présentant des alternances de brun clair et de brun foncé. Cerques plus clairs à leur extrémité.

Tête (Fig. 3B, C). Identique au mâle excepté les caractères suivants. Espace interoculaire large (1,43 mm), 1,83 fois plus large que la largeur d'un œil (0,78 mm). Antennes cassées (gauche avec seulement les deux premiers articles; la droite avec les neuf premiers articles).

Pronotum (Fig. 3A, B). Identique au mâle.

Ailes (Fig. 3D). Identique au mâle excepté les caractères suivants. Nervation visible. Longueur des tegmina 1,62 mm. Ailes postérieures visibles, longues de 1,97 mm.

Pattes (Fig. 3A). Identique au mâle excepté les caractères suivants. Fémurs des pattes antérieures trapus, 3,75 fois plus longs que larges. Fémurs des pattes médianes trapus, 3,97 fois plus longs que larges. Fémurs des pattes postérieures 3,22 fois plus longs que larges. Tarses des pattes postérieures avec le premier article (1,55 mm) plus de deux fois plus long que le dernier (0,56 mm).

Abdomen (Fig. 3E, F). Partie terminale de l'épiprocte triangulaire. Cerques coniques et compacts. Plaque sous-génitale avec une carène médiane et deux carènes latérales émoussées surtout

visibles en partie antérieure. Plaque sous-génitale présentant un léger lobe en partie postérieure, dans le prolongement de la carène médiane. Ovipositeur élancé, sa longueur 4,5 fois la hauteur de la valve dorsale. Valves dorsales pourvues sur le dessus de petites dents émoussées. Ovipositeur environ 1,7 fois la longueur de la plaque sous-génitale.

Mensurations. Voir Tableau 1.

Variations observées chez le paratype ♀

Pronotum recouvrant en partie l'ovipositeur.

Paurotarsus ruficornis (Walker, 1871)
(Fig. 15E)

Tettix ruficornis Walker, 1871: 817.

Paurotarsus amazonus – Bruner 1920: 17.

Paurotarsus ruficornis – Grant 1955: 4-5; 1962: 131. — Silva *et al.* 2021: 16; 20 et fig. 23. — Itrac-Bruneau & Doucet 2022: 408.

LOCALITÉ TYPE. — Brésil, Pará, Santarém.

DISTRIBUTION. — Brésil, Pérou, Bolivie, Équateur et Guyane (Bruner 1920; Grant 1962; Silva *et al.* 2021; Itrac-Bruneau & Doucet 2022).

MATÉRIEL EXAMINÉ. — **Guyane** • 3 ♀, 1 ♂; [Régina], Pied Saut Pararé; VIII.1977; M. Descamps leg.; MNHN • 1 ♀; [Régina], Pied Saut Pararé; 23.VIII.1977; M. Descamps leg.; MNHN • 1 ♀, 1 ♂; [Régina], Pied Saut Pararé; IX.1977; M. Descamps leg.; MNHN • 1 ♀; [Régina], Arataye, affl. Approuagues, 8 km NE pied Saut Pararé; jour; 31.III.1988; L. Desutter leg.; MNHN • 2 ♀, 1 ♂; [Régina], Arataye, affl. Approuagues, 8 km NE pied Saut Pararé; jour; 1.IV.1988; L. Desutter leg.; MNHN • 1 ♀, 2 ♂; [Régina], Arataye, affl. Approuagues, 8 km NE pied Saut Pararé; jour; 2.IV.1988; L. Desutter leg.; MNHN • 1 ♀, 1 ♂; [Régina], Arataye, affl. Approuagues, 8 km NE pied Saut Pararé; chasse jour; 3.IV.1988; L. Desutter leg.; MNHN • 1 ♂; [Régina], Arataye, affl. Approuagues, 8 km NE pied Saut Pararé; chasse jour; 4.IV.1988; L. Desutter leg.; MNHN-EO-CAELIF11291 • 3 ♂; [Régina], Arataye, affl. Approuagues, 8 km NE pied Saut Pararé; chasse jour; 6.IV.1988; L. Desutter leg.; MNHN • 3 ♀, 1 ♂; [Régina], Arataye, affl. Approuagues, 8 km NE pied Saut Pararé; chasse jour, relevé 1; 8.IV.1988; L. Desutter leg.; MNHN • 1 ♂; [Régina], Arataye, affl. Approuagues, 8 km NE pied Saut Pararé; chasse jour, relevé 1; 8.IV.1988; L. Desutter leg.; MNHN-EO-CAELIF11292 • 2 ♀, 1 ♂; [Régina], Arataye, affl. Approuagues, 8 km NE pied Saut Pararé; chasse jour; 25.IV.1988; L. Desutter leg.; MNHN • 1 ♂; [Régina], Arataye, affl. Approuagues, 8 km NE pied Saut Pararé; chasse de jour; 26.IV.-27.IV.1988; L. Desutter leg.; MNHN • 1 ♀; [Régina], Arataye, affl. Approuagues, 8 km NE pied Saut Pararé; chasse de jour; 5.V.1988; L. Desutter leg.; MNHN • 3 ♀; [Régina], Arataye, affl. Approuagues, 8 km NE pied Saut Pararé; chasse jour; 6.V.1988; L. Desutter leg.; MNHN • 3 ♀, 1 ♂; [Régina], Arataye, affl. Approuagues, 8 km NE pied Saut Pararé; jour; 11.V.1988; L. Desutter leg.; MNHN • 2 ♀, 2 ♂; [Régina], Arataye, affl. Approuagues, 8 km NE pied Saut Pararé; jour; 14.V.1988; L. Desutter leg.; MNHN • 1 ♀; [Régina], Arataye, affl. Approuagues, 8 km NE pied Saut Pararé; jour; 16.V.1988; L. Desutter leg.; MNHN • 5 ♀; [Régina], Arataye, affl. Approuagues, 8 km NE pied Saut Pararé; chasse jour; 18.V.1988; L. Desutter leg.; MNHN • 2 ♀; [Régina], Arataye, affl. Approuagues, 8 km NE pied Saut Pararé; chasse de jour; 19.V.1988; L. Desutter

TABLE 1. — Synthèse des mesures réalisées sur les différents individus de *Paurotarsus pennatulus* n. sp.

Paramètres mesurés (en mm)	Femelles				Mâles			
	n	[Min; Max]	Moyenne (écart-type)	Allotype ♀	n	[Min; Max]	Moyenne (écart-type)	Holotype ♂
Longueur du corps (LC)	2	[13,27; 14,48]	13,88 (0,86)	13,3	3	[10,89; 11,19]	11,03 (0,15)	11,0
Longueur pronotum (LP)	2	[12,49; 13,44]	12,97 (0,67)	12,5	3	[10,06; 10,49]	10,23 (0,23)	10,1
Largeur tête (WT)	2	[2,99; 3,08]	3,04 (0,06)	2,99	3	[2,47; 2,60]	2,56 (0,08)	2,60
Espace interoculaire (EIO)	2	[1,43; 1,47]	1,45 (0,03)	1,43	3	[1,04; 1,13]	1,08 (0,05)	1,08
Largeur œil (WO)	2	[0,78; 0,80]	0,79 (0,01)	0,78	3	[0,72; 0,76]	0,74 (0,02)	0,76
Largeur fémur antérieur (WFA)	2	[0,66; 0,69]	0,68 (0,02)	0,69	3	[0,63; 0,65]	0,64 (0,01)	0,65
Longueur fémur antérieur (LFA)	2	[2,60; 2,95]	2,78 (0,25)	2,60	3	[2,30; 2,34]	2,31 (0,02)	2,30
Largeur fémur médian (WFM)	2	[0,76; 0,79]	0,78 (0,02)	0,79	3	[0,75; 0,79]	0,77 (0,02)	0,75
Longueur fémur médian (LFM)	2	[3,12; 3,17]	3,15 (0,04)	3,12	3	[2,43; 2,60]	2,54 (0,10)	2,43
Largeur fémur postérieur (WFP)	2	[2,78; 2,95]	2,87 (0,12)	2,78	3	[2,40; 2,47]	2,43 (0,04)	2,40
Longueur fémur postérieur (LFP)	2	[8,93; 9,15]	9,04 (0,16)	8,93	3	[7,16; 8,50]	7,62 (0,76)	7,20
Longueur tarse I pattes postérieures (LT1PP)	2	[1,55; 1,57]	1,56 (0,01)	1,55	3	[1,16; 1,27]	1,21 (0,06)	1,20
Longueur tarse III pattes postérieures (LT3PP)	2	[0,56; 0,56]	0,56 (0)	0,56	3	[0,45; 0,52]	0,49 (0,04)	0,51
Longueur tegmina (LT)	2	[1,62; 1,95]	1,79 (0,23)	1,62	3	[1,32; 1,98]	1,68 (0,33)	1,32
Longueur aile postérieure (LAP)	1	1,97	—	1,97	1	2,04	—	—
Longueur de la plaque sous-génitale (LPSG)	2	[1,20; 1,39]	1,30 (0,13)	1,20	—	—	—	—
Longueur ovipositeur (LOVI)	2	[2,05; 2,18]	2,12 (0,09)	2,05	—	—	—	—
Hauteur valve dorsale ovipositeur (HVDO)	2	[0,45; 0,51]	0,48 (0,04)	0,45	—	—	—	—
Longueur avant dernier sternite (LADS)	—	—	—	—	3	[0,95; 1,05]	0,98 (0,06)	0,95
Rapport EIO / WO	2	[1,83; 1,84]	1,84 (0,01)	1,83	3	[1,43; 1,53]	1,47 (0,05)	1,43
Rapport LFM / WFM	2	[3,97; 4,14]	4,06 (0,12)	3,97	3	[3,23; 3,35]	3,29 (0,06)	3,23
Rapport LT1PP / LT3PP	2	[2,79; 2,83]	2,81 (0,02)	2,79	3	[2,36; 2,56]	2,45 (0,10)	2,36

leg.; MNHN • 1 ♂; [Régina], Arataye, affl. Approuagues, 8 km NE pied Saut Pararé; jour; 29.V.1988; L. Desutter leg.; MNHN • 5 ♀, 4 ♂; [Régina], Arataye, affl. Approuagues, 8 km NE pied Saut Pararé; 3.VI.1988; L. Desutter leg.; MNHN • 1 ♀; [Régina], Arataye, affl. Approuagues, 8 km NE pied Saut Pararé; chasse jour, litière; 3.VI.1988; L. Desutter & P. Grandcolas leg.; MNHN • 4 ♀; [Régina], Arataye, affl. Approuagues, 8 km NE pied Saut Pararé; chasse jour, forêt de lianes, layon 19; 4.VI.1988; L. Desutter & P. Grandcolas leg.; MNHN • 2 ♂; [Régina], Arataye, affl. Approuagues, 8 km NE pied Saut Pararé; chasse de nuit; 8.VI.1988; L. Desutter & P. Grandcolas leg.; MNHN • 1 ♂; [Régina], Arataye, affl. Approuagues, 8 km NE pied Saut Pararé; chasse jour; 13.VI.1988; L. Desutter & P. Grandcolas leg.; MNHN • 2 ♀; [Régina], Arataye, affl. Approuagues, 8 km NE pied Saut Pararé; chasse jour; 15.VI.1988; L. Desutter & P. Grandcolas leg.; MNHN • 1 ♀; [Régina], Arataye, affl. Approuagues, aval du Saut Pararé; chasse de nuit, pris dans abattage n°1; 4.VII.1988; L. Desutter & P. Grandcolas leg.; MNHN • 1 ♂; [Régina], Arataye, affl. Approuagues, aval du Saut Pararé; abattage de jour, arbre n°2; 6.VII.1988; L. Desutter & P. Grandcolas leg.; MNHN • 1 ♀; [Régina], Arataye, affl. Approuagues, aval du Saut Pararé; abattage de jour, n°12, 13, palmiers; 14.VII.1988; L. Desutter & P. Grandcolas leg.; MNHN • 1 ♀; [Régina], Arataye, affl. Approuagues, 8 km NE pied Saut Pararé; chasse de jour, forêt de plateau; 24.VII.1988; L. Desutter & P. Grandcolas leg.; MNHN • 1 ♀; Saül, Monts « La Fumée », milieu humide; chasse de jour; 13.VIII.1988; L. Desutter & P. Grandcolas leg.; MNHN • 1 ♀; Sinnamary, piste de St Elie, PK15; chasse de jour, forêt bord de crique; 23.VIII.1988; L. Desutter & P. Grandcolas leg.; MNHN • 1 ♀; [Régina], Nouragues, Saut Pararé; 04°02'26.8"N, 52°40'35.2"W; piège lumineux; 20.VII.2009; SEAG leg.; coll. DM • 1 ♂; Roura, Montagne aux chevaux, RN2, PK22, Carrière du Galion; piège à vitre; 23.VII.2009; SEAG leg.; coll. DM • 1 ♂; Roura, Montagne aux chevaux, RN2, PK22, Carrière du Galion; piège à vitre; 1.VIII.2009; SEAG leg.; coll. DM • 4 ♂; [Régina], Nouragues, Saut Pararé; 04°02'26.8"N, 52°40'35.2"W; piège à vitre; 24.VIII.2009; SEAG leg.; coll. DM • 1 ♂; [Régina], RN des Nouragues, Grand Plateau; piège à vitre; 9.XI.2009; SEAG leg.; coll. DM • 2 ♂, 1 ♀; [Régina], Nouragues, Saut Pararé;

04°02'26.8"N, 52°40'35.2"W; piège à vitre; 13.IX.2009; SEAG leg.; coll. DM • 3 ♂, 3 ♀; [Régina], Nouragues, Saut Pararé; 04°02'26.8"N, 52°40'35.2"W; piège à vitre; 20.IX.2009; SEAG leg.; coll. DM • 3 ♂, 1 ♀; [Régina], Nouragues, Saut Pararé; 04°02'26.8"N, 52°40'35.2"W; piège à vitre; 22.IX.2009; SEAG leg.; coll. DM • 1 ♂; [Régina], RN des Nouragues, Grand Plateau; piège à vitre; 30.XI.2009; SEAG leg.; coll. DM • 1 ♂, 1 ind; [Régina], Nouragues, Saut Pararé; 04°02'26.8"N, 52°40'35.2"W; piège à vitre; 30.IX.2009; SEAG leg.; coll. DM • 5 ♂; [Régina], Nouragues, Saut Pararé; 04°02'26.8"N, 52°40'35.2"W; piège à vitre; 10.X.2009; SEAG leg.; coll. DM • 1 ♂; [Régina], Nouragues, Saut Pararé; 04°02'26.8"N, 52°40'35.2"W; piège à vitre; 20.X.2009; SEAG leg.; coll. DM • 4 ♂; Roura, Montagne aux chevaux, RN2, PK22, Carrière du Galion; piège à vitre; 1.XI.2009; SEAG leg.; coll. DM • 7 ♂, 1 ♀; [Régina], Nouragues, Saut Pararé; 04°02'26.8"N, 52°40'35.2"W; piège à vitre; 1.XI.2009; SEAG leg.; coll. DM • 1 ♀; [Régina], Nouragues, Saut Pararé; 04°02'26.8"N, 52°40'35.2"W; piège à vitre; 23.XI.2009; SEAG leg.; coll. DM • 1 ♀; Régina, RN des Nouragues, Saut Pararé; 27.III.2010; SEAG leg.; coll. DM • 1 ind; Régina, RN des Nouragues, Saut Pararé; 9.IV.2010; SEAG leg.; coll. DM • 1 ♂; Saül, point de vue du Belvédère; piège à vitre; 6.VI.2010; SEAG leg.; coll. DM • 6 ♂, 1 ♀; Saül, Belvédère; piège à vitre; 6.VI.2010; SEAG leg.; coll. DM • 1 ♂; Saül, point de vue du Belvédère; piège lumineux; 19.VIII.2010; SEAG leg.; coll. DM • 1 ♀; Saül, point de vue du Belvédère; piège lumineux; 26.VIII.2010; SEAG leg.; coll. DM • 3 ♂, 2 ♀; Saül, point de vue du Belvédère; piège à vitre; 26.VIII.2010; SEAG leg.; coll. DM • 5 ♂, 3 ♀; Saül, Belvédère; piège à vitre; 26.VIII.2010; SEAG leg.; coll. DM • 2 ♂, 2 ♀; Saül, point de vue du Belvédère; piège à vitre; 2.IX.2010; SEAG leg.; coll. DM • 1 ♀; Régina, RN des Nouragues, Camp Inselberg; 04°05'N, 52°41'W; piège à vitre; 9.IX.2009; SEAG leg.; coll. DM • 2 ♂; Saül; piège à vitre; 9.IX.2010; SEAG leg.; coll. DM • 2 ♂, 1 ♀, 1 ind; Saül, Belvédère; piège à vitre; 9.IX.2010; SEAG leg.; coll. DM • 2 ♂, 1 ♀; Saül, Belvédère; piège Malaise; 9.IX.2010; SEAG leg.; coll. DM • 15 ♂, 4 ♀, 1 ind; Saül, Belvédère; piège à vitre; 17.IX.2010; SEAG leg.; coll. DM • 5 ♂; Saül, point de vue du Belvédère; piège à vitre; 23.IX.2010; SEAG leg.; coll. DM • 4 ♂, 8 ♀; Saül, Belvédère; piège à vitre; 23.IX.2010; SEAG

leg.; coll. DM • 1 ind; Régina, RNN Nouragues, Camp; piège lumineux; 30.IX.2010; SEAG leg.; coll. DM • 2 ♂, 1 ♀; Saül, Belvédère; piège à vitre; 30.IX.2010; SEAG leg.; coll. DM • 1 ♂; Saül, point de vue du Belvédère; piège à vitre; 30.IX.2010; SEAG leg.; coll. DM • 3 ♂; Saül, Belvédère; piège à vitre; 6.X.2010; SEAG leg.; coll. DM • 1 ♂; Régina, RN des Nouragues, Grand Plateau; piège à vitre; 9.X.2010; SEAG leg.; coll. DM • 1 ♂; Régina, RN des Nouragues, Camp Inselberg; 04°05'N, 52°41'W; piège à vitre; 14.X.2010; SEAG leg.; coll. DM • 8 ♂, 4 ♀; Saül, Belvédère; piège à vitre; 21.X.2010; SEAG leg.; coll. DM • 1 ♂, 1 ♀; Saül, Belvédère; piège Malaise; 21.X.2010; SEAG leg.; coll. DM • 5 ♂; Saül, Belvédère; piège à vitre; 29.X.2010; SEAG leg.; coll. DM • 2 ♂; Saül, point de vue du Belvédère; piège à vitre; 29.X.2010; SEAG leg.; coll. DM • 5 ♂; Saül, Belvédère; piège à vitre; 5.XI.2010; SEAG leg.; coll. DM • 1 ♀; [Régina], station des Nouragues, camp Inselberg; 4°05'00.0"N, 52°41'00.0"W; sur tronc, nuit; 6.VII.2011; L. Desutter-Grandcolas & J. Anso leg.; MNHN • 1 ♂, 2 ♀; Saül, point de vue du Belvédère; piège à vitre 4; 18.VIII.2011; SEAG leg.; coll. DM • 1 ♀; Saül, Belvédère; 3°37'22"N, 53°12'57"W; alt. 326 m; piège Slam bas; 2.IV.2012; SEAG leg.; coll. DM • 1 ♀; Saül, Belvédère; 3°37'22"N, 53°12'57"W; alt. 326 m; piège Slam bas; 3.VII.2012; SEAG leg.; coll. DM.

REMARQUE

Deux individus (MNHN-EO-CAELIF11291, MNHN-EO-CAELIF11292) à coloration atypique ont été observés parmi les spécimens collectés à Régina (Arataye) par L. Desutter. Ce motif, que l'on retrouve également chez *P. insolitus* Rehn, 1916, correspond en tous points à ce qui avait été décrit par Grant (1955) : « Ce chromatisme présente une large bande longitudinale de couleur beige à jaune doré sur toute la surface du pronotum, qui se poursuit sur le vertex et le fastigium pour inclure les articles proximaux des antennes, les carènes de la côte frontale et le tiers dorsal des yeux ». À notre connaissance, seul un très faible nombre d'individus arborant cette coloration a été rapporté : une femelle au Pérou (Rio Pacaya) et deux mâles au Brésil (Teffe) (Grant 1955).

Genre *Scaria* Bolívar, 1887

REMARQUE

Le genre *Scaria* Bolívar, 1887 est très proche des genres *Rehni-dium* Grant, 1956 et *Batrachidea* Serville, 1838. Les principaux critères retenus par Grant (1956, 1962), Cadena-Castañeda *et al.* (2019) et Kasalo *et al.* (2021) pour le distinguer sont : 1) la présence d'une forte épine crochue en partie antérieure du pronotum; 2) un pronotum atteignant ou dépassant l'extrémité des fémurs postérieurs; 3) des ailes toujours bien développées; 4) un pronotum plat; 5) les fémurs médians terminés par une forte épine; 6) la forme de la plaque sous-génitale des femelles; 7) une grande taille; 8) la côte frontale légèrement saillante; et 9) des tegmina noirâtres. Cependant certains critères ne sont pas constants tels que la couleur des tegmina (parfois bruns, voir Grant 1962) et la forme des plaques sous-génitales des femelles (très variable au sein des espèces du genre, voir Cadena-Castañeda *et al.* (2019)), et ne peuvent donc pas être utilisés. D'après nos observations, il est préférable d'utiliser la combinaison des cinq premiers critères mentionnés ci-dessus.

Scaria guyanensis Doucet & Itrac-Bruneau, n. sp. (Figs 4; 15H)

urn:lsid:zoobank.org:act:22FF8CB0-CE1F-4961-84CA-9D9D98E19273

MATÉRIEL TYPE. — **Holotype.** Guyane • 1 ♀; Saül, Belvédère; 3°37'22"N, 53°12'57"W; alt. 326 m; piège Slam bas; 20.VI.2012; SEAG leg.; coll. DM; MNHN-EO-CAELIF11271.

COMMENTAIRE. — Mâle inconnu.

ÉTYMOLOGIE. — Le nom d'espèce signifie « de Guyane ».

DIAGNOSE. — Parmi les 13 espèces actuellement recensées du genre *Scaria* (Cadena-Castañeda *et al.* 2019; Kasalo *et al.* 2021) auxquelles s'ajoutent les deux espèces nouvelles décrites dans cet article, seules trois peuvent ne pas présenter de bande post-oculaire : *Scaria producta* Hancock, 1907, *Scaria maculata* Giglio-Tos, 1898 et *Scaria ferruginea* Hancock, 1909.

La distinction avec le premier taxon peut se faire sur l'absence de lobe sur la carène supérieure des fémurs postérieurs (deux ou trois lobes présents chez *S. producta*), la partie antérieure du pronotum légèrement relevée (fortement relevée chez *S. producta*), la présence de deux taches nettes bien délimitées sur les tegmina (la première tache est diffuse chez *S. producta*), la forme de la valve dorsale de l'ovipositeur se rétrécissant progressivement sur son dernier quart et terminée par une dent bien développée (rétrécissement brusque avec une dent terminale très émoussée chez *S. producta*) et enfin l'extrémité de la plaque sous-génitale de la femelle présentant des bordures émoussées en vue latérale ainsi que deux échancrures profondes et lisses en vue ventrale (bordures en pointe en vue latérale et échancrures peu profondes et dentelées chez *S. producta*). La distinction avec *Scaria maculata* peut se faire sur la présence de taches sur les tegmina (absentes chez *S. maculata*), la partie antérieure du pronotum légèrement relevée (fortement relevée chez *S. maculata*) et la présence d'épines dorso-apicales sur les fémurs antérieurs (absentes chez *S. maculata*). Enfin, la distinction avec *Scaria ferruginea* peut se faire sur la forme de la plaque sous-génitale présentant deux échancrures profondes et lisses en vue ventrale (une échancrure médiane arrondie et peu profonde chez *S. ferruginea*), le pronotum dépassant nettement les genoux postérieurs (dépassant peu chez *S. ferruginea*), la présence de deux taches nettes bien délimitées sur les tegmina (une seule tache bien délimitée chez *S. ferruginea*) et enfin un pronotum majoritairement clair en vue dorsale (noirâtre avec une ligne blanche médiane chez *S. ferruginea*).

DESCRIPTION

Femelle holotype

Coloration générale (Fig. 4A-C, E, F). Corps à dominante brun clair. Parties basales des lobes latéraux du pronotum jaunâtres, cette coloration se prolongeant sur la partie contiguë du thorax, au dessus des pattes médianes et postérieures. Parties supérieures des lobes latéraux du pronotum noirâtres et ponctuées de grains jaunâtres. Partie centrale du dessus du pronotum jaunâtre, bordé de noirâtre des deux côtés. Partie postérieure du pronotum légèrement plus foncée que la coloration générale. Carènes supérieures des fémurs postérieurs avec trois taches jaunes en partie proximale entrecoupées de zones noirâtres. Genoux, tibias et tarses des pattes postérieures bruns foncés. Tegmina noirâtres, avec une tache jaunâtre en partie proximale et une tache blanchâtre en partie distale. Deux derniers articles des palpes maxillaires blanchâtres, les autres bruns. Cerques bruns foncés. Plaque sous-génitale plus sombre dans sa partie terminale.

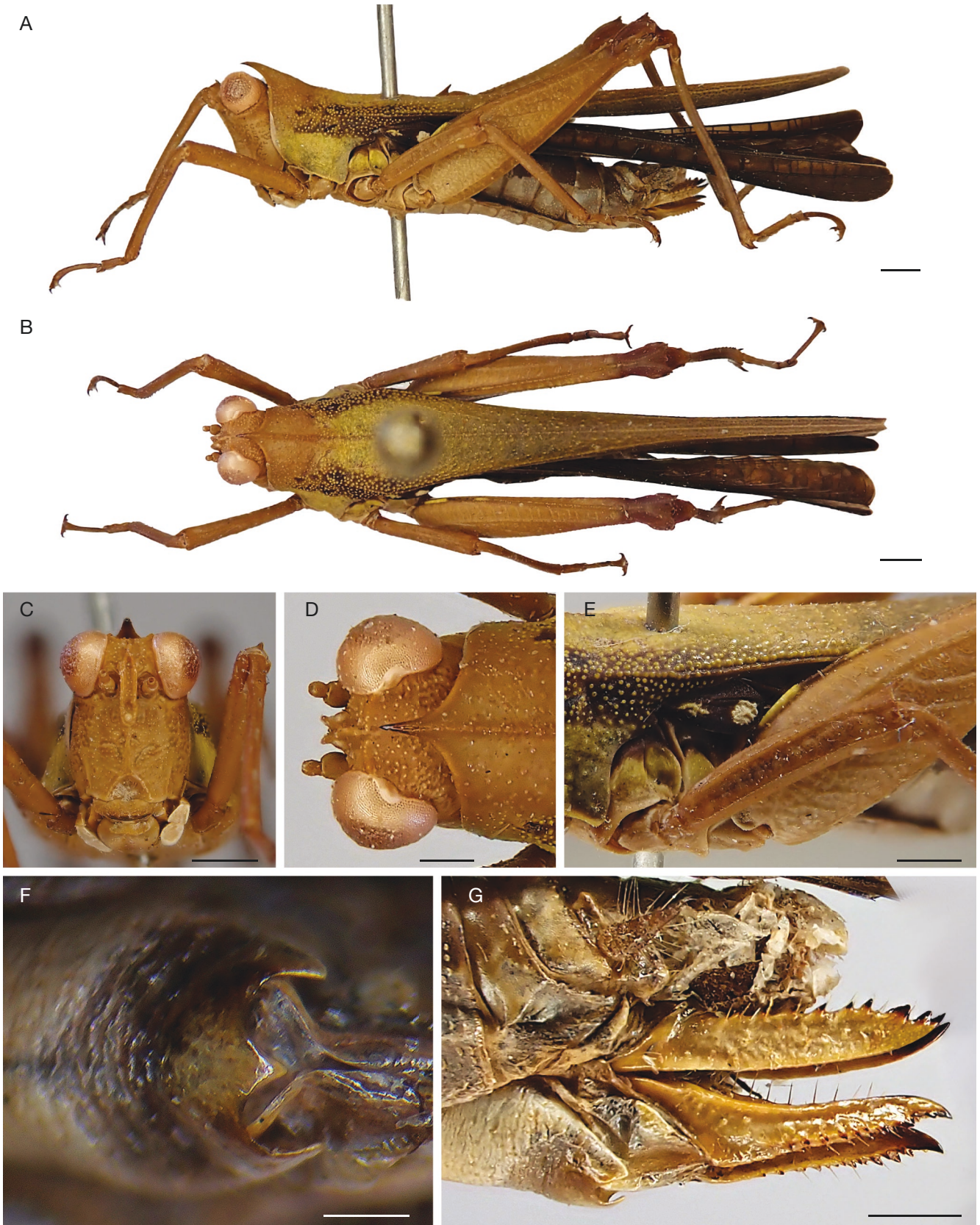


FIG. 4. — *Scaria guyanensis* Doucet & Itrac-Bruneau, n. sp. holotype ♀, MNHN-EO-CAELIF11271 : **A**, habitus en vue latérale; **B**, habitus en vue dorsale; **C**, tête vue de face; **D**, tête en vue dorsale; **E**, partie médiane du pronotum en vue latérale et tegmen; **F**, extrémité de l'abdomen en vue ventrale; **G**, extrémité de l'abdomen en vue latérale. Photos : G. Doucet. Échelles : A-C, E, 1 mm; D, G, 0,5 mm; F, 0,25 mm.

Tête (Fig. 4C, D). Tête légèrement plus large que la partie antérieure du pronotum. Granularité du tégument faible sur la face et plus forte sur le dessus. Yeux globuleux. Absence de bande post-oculaire. En vue latérale, côte frontale régulièrement arrondie, sans angle marqué. Carènes faciales atteignant ou dépassant légèrement les pédicelles antennaires. En vue frontale, antennes insérées juste au dessus de la ligne reliant le bas des yeux. Côte frontale bifurquée en partie haute des yeux, à mi-chemin entre le fastigium et les ocelles latéraux, ses carènes faciales fines, faiblement divergentes, presque parallèles (scutellum étroit), englobant l'ocelle médian situé nettement sous la ligne reliant le bas des yeux. Ocelles latéraux positionnés sur la ligne reliant le milieu des yeux, en dessous de la bifurcation de la côte frontale. Derniers articles des palpes maxillaires dilatés et aplatis. En vue dorsale, yeux dépassant le fastigium. Fastigium court, avec sa marge antérieure entaillée en son milieu par la côte frontale. Œil large (0,72 mm), aussi large que l'espace interoculaire (0,72 mm). Présence de lobes supra-oculaires. Antennes incomplètes, avec présence uniquement du pédicelle et du scape de chaque côté.

Pronotum (Fig. 4A, B, D). Macropronotal, l'extrémité du pronotum dépassant largement les genoux des pattes postérieures. En vue dorsale, carène médiane légèrement saillante sur toute sa longueur. Absence de carènes latérales dans la prozone. Partie antérieure du pronotum terminée par une longue épine. Lobes latéraux dirigés vers le bas et tronqués. En vue latérale, pronotum légèrement incliné dans sa marge antérieure depuis l'épine pronotale jusqu'à la prozone, puis plat sur le reste de sa longueur.

Ailes (Fig. 4A, E). Tegmina et ailes postérieures présents. Tegmina elliptiques, longs de 1,45 mm. Présence sur chaque tegmen d'une tache allongée en partie antérieure et d'une tache ronde en partie postérieure (0,40 mm). Ailes postérieures (13,11 mm) neuf fois plus longues que les tegmina, dépassant légèrement l'extrémité du pronotum.

Pattes (Fig. 4A, E). Fémurs des pattes antérieures élançés, 5,4 fois plus longs que larges, terminés par une épine émoussée. Présence de deux carènes dorsales peu saillantes et peu visibles. Fémurs des pattes médianes élançés, 5,2 fois plus longs que larges, terminés par une forte épine. Présence de deux carènes bien visibles sur la marge dorsale. Carènes des fémurs antérieurs et médians droites, non lobées ou sinuées. Fémurs des pattes postérieures 3,8 fois plus longs que larges.

Abdomen (Fig. 4E, G). Épiprocte triangulaire. Cerques coniques terminés par une soie épaisse. En vue ventrale, plaque sous-génitale plus longue que large, doublement échancrée à son extrémité, en forme de « 3 ». Ovipositeur élançé, sa longueur 5,6 fois la hauteur de la valve dorsale. Valves dorsales pourvues de dents marquées et de tailles régulières, terminées par une dent pointue. Ovipositeur environ 1,13 fois la longueur de la plaque sous-génitale.

Mensurations. LC 15,91 mm; LP 15,82 mm; WT 2,17 mm; WO 0,72 mm; EIO 0,72 mm; LFA 3,02 mm; LFM 2,93 mm; LFP 7,20 mm; WFA 0,51 mm; WFM 0,56 mm; WFP 1,88 mm; LT 1,45 mm; LAP 13,11 mm; LTT 0,40 mm (tache postérieure); LPSG 1,62 mm.

Scaria hamata * (De Geer, 1773)
(Figs 10E, F; 15I)

Acrydium hamatum De Geer, 1773: 503.

Scaria hamata – Bolívar 1887: 301. — Cadena-Castañeda *et al.* 2019.

LOCALITÉ TYPE. — Brésil, Amazonas, Manaus (Campus de l'université fédérale d'Amazonas).

DISTRIBUTION. — Brésil, Pérou, Équateur, Bolivie (Cadena-Castañeda *et al.* 2019) et Guyane (nouveau pour le département).

MATÉRIEL EXAMINÉ. — **Guyane** • 1 ♀; Matoury, Cayene[sic]; 2.III.1976; M. Descamps leg.; MNHN • 1 ♀; [Roura], Montagne de Kaw; 10.VIII.1992; D. Morin leg.; coll. DM • 1 ♂; Sinnamary, Limite chantier Petit Saut; litière; 24.VIII.1992; D. Morin leg.; coll. DM • 1 ♂; Roura, Montagne aux chevaux, RN2, PK22, Carrière du Galion; 6.XII.2007; S. Brulé leg.; coll. DM • 1 ♂; Roura, Montagne aux chevaux, RN2, PK22, Carrière du Galion; piège à vitre; 20.VI.2009; SEAG leg.; coll. DM • 1 ♂; [Régina], Nouragues, Saut Pararé; 04°02'26.8"N, 52°40'35.2"W; piège à vitre; 20.IX.2009; SEAG leg.; coll. DM • 1 ♀; Roura, Montagne aux chevaux, RN2, PK22, Carrière du Galion; piège à vitre; 31.I.2010; SEAG leg.; coll. DM • 1 ♂; Roura, Montagne aux chevaux, RN2, PK22, Carrière du Galion; piège à vitre; 21.II.2010; SEAG leg.; coll. DM • 1 ♂; Roura, Montagne aux chevaux, RN2, PK22, Carrière du Galion; piège à vitre; 28.II.2010; SEAG leg.; coll. DM • 1 ♂, 2 ♀; Roura, Montagne aux chevaux, RN2, PK22, Carrière du Galion; piège à vitre; 28.XI.2010; SEAG leg.; coll. DM.

COMMENTAIRE. — L'espèce était notée par plusieurs auteurs en Guyane (Bolívar 1887; Hancock 1902; Bruner 1920). Cependant, la perte du type et les nombreuses erreurs d'identification liées à la courte description originale ont conduit à ne pas retenir ce taxon dans la première synthèse des Tetrigidae de Guyane (Itrac-Bruneau & Doucet 2022). Les spécimens collectés depuis 1976 viennent donc confirmer la présence de l'espèce dans le département.

Scaria macromaculata Doucet & Itrac-Bruneau, n. sp.
(Figs 5; 6; 7; 15J)

urn:lsid:zoobank.org:act:B1A5A3A9-2870-428B-B13D-26D0C54088BB

MATÉRIEL TYPE. — **Holotype.** **Guyane** • 1 ♂; [Régina], Arataye, affl. Approuages, 8 km NE pied Saut Pararé; chasse de jour, coupe à blanc (3 ans), pente D7; 29.IV.1988; L. Desutter leg.; MNHN-EO-CAELIF11272.

Allotype. **Guyane** • 1 ♀; [Régina], Pied Saut Pararé; VIII.1977; M. Descamps leg.; MNHN-EO-CAELIF11273.

Paratypes. **Guyane** • 1 ♂, 1 ♀; [Camopi], Massikiri, Oyapock; 16.XI.1969; Balachowsky-Gruner leg.; MNHN-EO-CAELIF11274, MNHN-EO-CAELIF11275 • 1 ♂; [Saint-Georges], Saut-Maripa, Oyapock; piège lumineux; 26.XI.1969; Balachowsky-Gruner leg.; MNHN-EO-CAELIF11276 • 1 ♂; [Camopi], Camp Couleuvre, Mont St Marcel, Oyapock; 28.III.1976; M. Descamps leg.; MNHN-EO-CAELIF11277 • 1 ♀; Sinnamary; VII.1977; M. Descamps leg.; MNHN-EO-CAELIF11278 • 1 ♀; [Régina], Pied Saut Pararé;

VIII.1977; M. Descamps leg.; MNHN-EO-CAELIF11279 • 1 ♂; Régina, PK125; II.2009; leg. inconnu; MCR • 1 ♂, 1 ♀; Régina, PK125; IV.2009; leg. inconnu; MCR.

AUTRE MATÉRIEL. — **Guyane** • 1 ♀; Camopi, Oyapock; 8.III.1976; M. Descamps leg.; MNHN • 1 ♀; Sinnamary; VII.1977; M. Descamps leg.; MNHN • 1 ♂; [Régina], Arataye, Saut Pararé; 3.III.1981; M. Boulard leg.; MNHN • 1 ♀; [Sinnamary], Petit Saut; 5°4'N, 53°3'W; 20.X-25.X.1989; piège Malaise; forêt primaire, sur canopée; G. Delvare leg.; coll. DM • 1 ♀; [Sinnamary], Petit Saut; 5°4'N, 53°3'W; 24.X-31.X.1989; Piège Malaise; forêt primaire, sous-bois; G. Delvare leg.; coll. DM • 1 ♂; Roura, Montagne aux chevaux, RN2, PK22, Carrière du Galion; 6.XII.2007; S. Brulé leg.; coll. DM • 1 ♂; Roura, Montagne aux chevaux, RN2, PK22, Carrière du Galion; piège lumineux; 25.II.2009; SEAG leg.; coll. DM • 1 ♂; Roura, Montagne aux chevaux, RN2, PK22, Carrière du Galion; piège à vitre; 17.VII.2009; SEAG leg.; coll. DM • 1 ind; [Régina], Nouragues, Saut Pararé; 04°02'26.8"N, 52°40'35.2"W; piège lumineux; 17.VII.2009; SEAG leg.; coll. DM • 2 ♀; [Régina], Nouragues, Saut Pararé; 04°02'26.8"N, 52°40'35.2"W; piège à vitre; 4.VIII.2009; SEAG leg.; coll. DM • 1 ♂; [Régina], Nouragues, Saut Pararé; 04°02'26.8"N, 52°40'35.2"W; piège à vitre; 11.VIII.2009; SEAG leg.; coll. DM • 2 ♂; [Régina], Nouragues, Saut Pararé; 04°02'26.8"N, 52°40'35.2"W; piège à vitre; 3.IX.2009; SEAG leg.; coll. DM • 1 ♂; [Régina], Nouragues, Saut Pararé; 04°02'26.8"N, 52°40'35.2"W; piège à vitre; 13.IX.2009; SEAG leg.; coll. DM • 1 ♀; [Régina], Nouragues, Saut Pararé; 04°02'26.8"N, 52°40'35.2"W; piège à vitre; 20.IX.2009; SEAG leg.; coll. DM • 3 ♂, 1 ♀; [Régina], Nouragues, Saut Pararé; 04°02'26.8"N, 52°40'35.2"W; piège à vitre; 22.IX.2009; SEAG leg.; coll. DM • 1 ♂; [Régina], Nouragues, Saut Pararé; 04°02'26.8"N, 52°40'35.2"W; piège à vitre; 30.IX.2009; SEAG leg.; coll. DM • 1 ♀; Régina, PK125, Massif forestier; XI.2009; J.-L. Giuglaris rec.; coll. DM • 1 ♂; [Régina], Nouragues, Saut Pararé; 04°02'26.8"N, 52°40'35.2"W; piège à vitre; 1.XI.2009; SEAG leg.; coll. DM • 2 ♀; [Régina], Nouragues, Saut Pararé; 04°02'26.8"N, 52°40'35.2"W; piège à vitre; 23.XI.2009; SEAG leg.; coll. DM • 1 ind; Macouria, Matiti; XII.2009; J.-L. Giuglaris rec.; coll. DM • 1 ♀; Régina, RN des Nouragues, Saut Pararé; piège à vitre; 27.III.2010; SEAG leg.; coll. DM • 1 ♀; Saül, Belvédère; piège à vitre; 9.IX.2010; SEAG leg.; coll. DM • 1 ♀; Mana, Laussat ouest, sable blanc; 05°28'31.6"N, 53°35'07.3"W; piège Malaise; 7.X.2010; G. Lamarre leg.; coll. DM • 1 ♀; Saül, Belvédère; piège Polytrap; 29.X.2010; SEAG leg.; coll. DM • 1 ♀; Saül, Belvédère; piège à vitre; 5.XI.2010; SEAG leg.; coll. DM • 3 ♀; Roura, Montagne aux chevaux, RN2, PK22, Carrière du Galion; piège à vitre; 28.XI.2010; SEAG leg.; coll. DM • 1 ♂; Roura, Montagne aux chevaux, RN2, PK2, 4°44'56"N, 52°26'28"W; alt. 75 m; piège Slam; 24.XII.2011; SEAG leg.; coll. DM • 1 ♂; Roura, Montagne aux chevaux, RN2, PK2; 4°44'56"N, 52°26'28"W; alt. 75 m; piège lumineux auto; 10.XI.2012; SEAG leg.; coll. DM.

DONNÉE NUMÉRIQUE. — Une femelle a été observée le 16.XI.2022 par Guillaume Delaitre (donnée disponible sur iNaturalist : <https://www.inaturalist.org/observations/142869814>) à Roura dans la Réserve naturelle nationale des Nouragues (Fig. 7).

ÉTYMOLOGIE. — Le nom d'espèce fait référence à la taille importante de la tache sur les tegmina.

DIAGNOSE. — *Scaria macromaculata* Doucet & Itrac-Bruneau, n. sp. peut être confondue avec les 11 autres espèces déjà connues du genre arborant une tache sur les tegmina (Cadena-Castañeda *et al.* 2019; Kasalo *et al.* 2021) auxquelles s'ajoute *S. guyanensis* Doucet & Itrac-Bruneau, n. sp. décrite dans cet article.

La distinction avec *Scaria laeta* Günther, 1940 peut se faire sur la présence d'une tache sur les tegmina ainsi qu'un ovipositeur long et fin (deux taches sur les tegmina, dont une en forme de bande,

ainsi qu'un ovipositeur court et large chez *S. laeta*). La distinction avec *Scaria producta* Hancock, 1907 se fait sur la présence de bandes post-oculaires (absentes chez *S. producta*), de l'absence de lobes sur la carène supérieure du fémur postérieur (présence d'ondulations caractéristiques chez *S. producta*) et, pour les femelles, de la forme arrondie sur les côtés de la plaque sous-génitale (en pointe caractéristique sur les côtés chez *S. producta*) et de la présence d'une forte dent terminale aux valves de l'ovipositeur (dent terminale très émoussée chez *S. producta*). *Scaria fasciata* Hancock, 1907 est exclu en raison de la présence d'une petite tache sur les tegmina (moins de la moitié de la longueur de ces derniers alors qu'elle est plus étendue chez *S. macromaculata* Doucet & Itrac-Bruneau, n. sp.), d'une plaque sous-génitale non échancrée chez les femelles (très échancrée en forme de « 3 » chez *S. macromaculata* Doucet & Itrac-Bruneau, n. sp.), de l'extrémité de l'abdomen allongée chez les mâles (compact chez *S. macromaculata* Doucet & Itrac-Bruneau, n. sp.) ainsi que d'une valve dorsale de l'ovipositeur allongée (rapport longueur sur hauteur d'environ six) alors qu'elle est plus compacte chez *S. macromaculata* Doucet & Itrac-Bruneau, n. sp. (rapport longueur sur hauteur d'environ quatre). Concernant *Scaria ferruginea* Hancock, 1909, les différences s'observent sur les caractères suivants : une bande post-oculaire absente ou très peu prononcée (bien visible chez *S. macromaculata* Doucet & Itrac-Bruneau, n. sp.), une petite tache sur les tegmina (moins de la moitié de la longueur de ces derniers alors qu'elle est plus étendue chez *S. macromaculata* Doucet & Itrac-Bruneau, n. sp.) ainsi que la forme de la plaque sous-génitale des femelles légèrement échancrée en son milieu (très échancrée en forme de « 3 » chez *S. macromaculata* Doucet & Itrac-Bruneau, n. sp.). Chez *Scaria veruta* (Grant, 1956), la tache sur les tegmina est plus petite (moins de la moitié de la longueur de ces derniers alors qu'elle est plus étendue chez *S. macromaculata* Doucet & Itrac-Bruneau, n. sp.), le pronotum dépasse à peine l'extrémité des genoux des pattes postérieures (il dépasse largement les genoux (environ 2 mm) chez *S. macromaculata* Doucet & Itrac-Bruneau, n. sp.) et les fémurs des pattes antérieures et médianes sont élancés (rapport longueur sur largeur de l'ordre de six) tandis qu'ils sont plus trapus chez *S. macromaculata* Doucet & Itrac-Bruneau, n. sp. (rapport longueur sur largeur de l'ordre de quatre). La distinction avec *Scaria hamata* (De Geer, 1773) et *Scaria boliviana* Bruner, 1920 peut se faire sur la base de la tache sur les tegmina plus petite (moins de la moitié de la longueur de ces derniers alors qu'elle est plus étendue chez *S. macromaculata* Doucet & Itrac-Bruneau, n. sp.), de la forme de la plaque sous-génitale des femelles avec une invagination médiane (échancrée en forme de « 3 » chez *S. macromaculata* Doucet & Itrac-Bruneau, n. sp.) et de l'extrémité de l'abdomen allongée chez les mâles (compact chez *S. macromaculata* Doucet & Itrac-Bruneau, n. sp.). La distinction avec *Scaria rafaëli* Cadena-Castañeda, Mendes & Silva, 2019 peut se faire sur la base de la tache sur les tegmina plus petite (moins du quart de la longueur de ces derniers alors qu'elle est bien plus étendue chez *S. macromaculata* Doucet & Itrac-Bruneau, n. sp.), des fémurs postérieurs plus compacts (rapport longueur sur largeur inférieur à 3,4) alors qu'ils sont plus allongés chez *S. macromaculata* Doucet & Itrac-Bruneau, n. sp. (rapport longueur sur largeur supérieur à 3,4), une valve dorsale de l'ovipositeur allongée (rapport longueur sur hauteur d'environ six) alors qu'elle est plus compacte chez *S. macromaculata* Doucet & Itrac-Bruneau, n. sp. (rapport longueur sur hauteur d'environ quatre) ainsi que la forme de la plaque sous-génitale chez la femelle présentant une incision moins profonde (profondément échancrée en forme de « 3 » chez *S. macromaculata* Doucet & Itrac-Bruneau, n. sp.). La distinction avec *Scaria jonsi* Cadena-Castañeda, Mendes & Silva, 2019 peut se faire sur la base de la tache sur les tegmina plus petite (moins du quart de la longueur de ces derniers alors qu'elle est bien plus étendue chez *S. macromaculata* Doucet & Itrac-Bruneau, n. sp.) ainsi que la forme de la plaque sous-génitale chez la femelle présentant une incision marquée en forme de W (en forme de « 3 » chez *S. macromaculata* Doucet & Itrac-Bruneau, n. sp.). La distinction

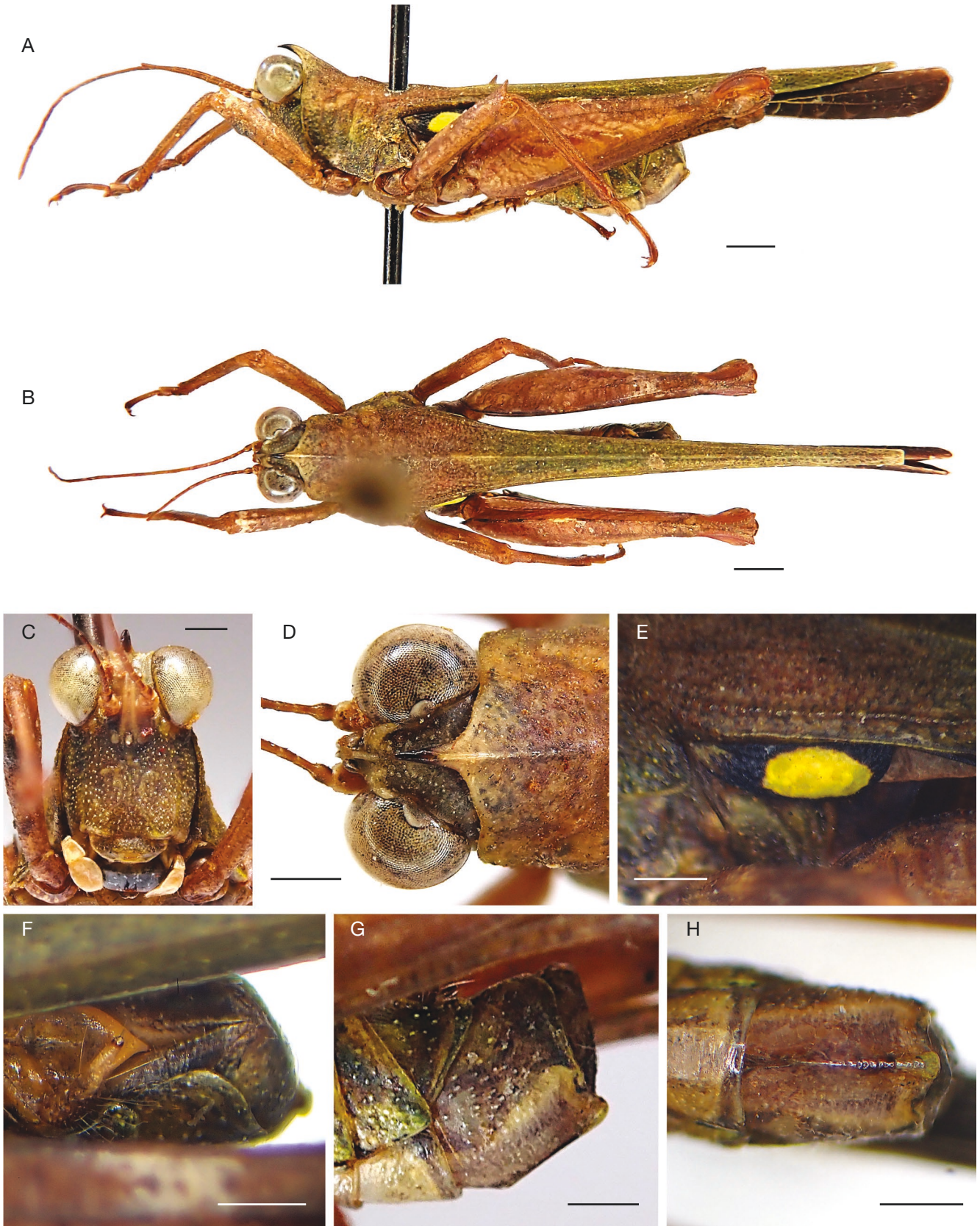


FIG. 5. — *Scaria macromaculata* Doucet & Itrac-Bruneau, n. sp. holotype ♂, MNHN-EO-CAELIF11272 : **A**, habitus en vue latérale; **B**, habitus en vue dorsale; **C**, tête vue de face; **D**, tête en vue dorsale; **E**, tegmen; **F**, extrémité de l'abdomen en vue dorsale; **G**, extrémité de l'abdomen en vue latérale; **H**, extrémité de l'abdomen en vue ventrale. Photos : G. Doucet. Échelles : A, B, 1 mm; C-H, 0,5 mm.

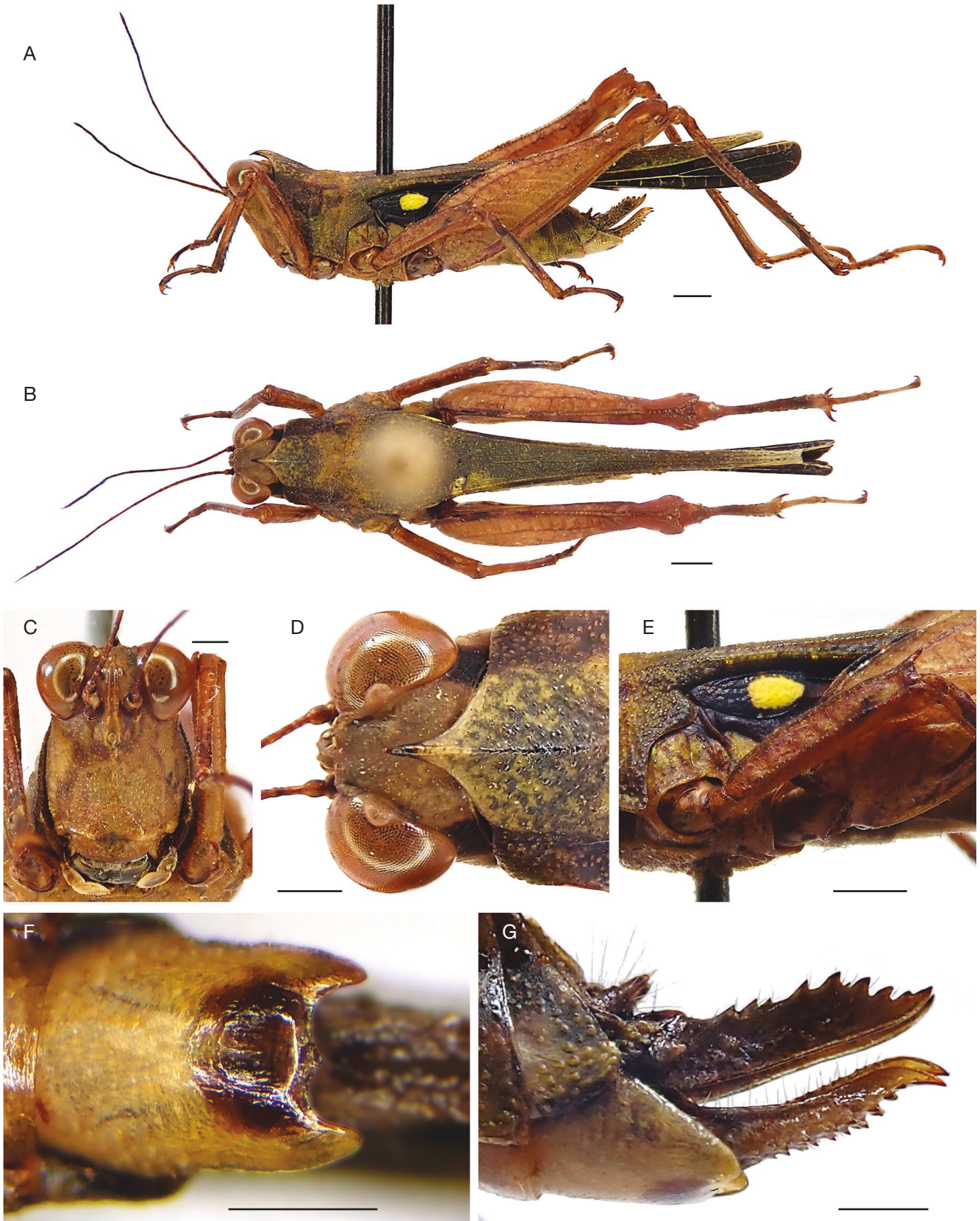


FIG. 6. — *Scaria macromaculata* Doucet & Itzac-Bruneau, n. sp. allotype ♀, MNHN-EO-CAELIF11273 : **A**, habitus en vue latérale ; **B**, habitus en vue dorsale ; **C**, tête vue de face ; **D**, tête en vue dorsale ; **E**, partie médiane du pronotum en vue latérale et tegmen ; **F**, extrémité de l'abdomen en vue ventrale ; **G**, extrémité de l'abdomen en vue latérale. Photos : G. Doucet. Échelles : A, B, E, 1 mm ; C, D, F, G, 0,5 mm.



FIG. 7. — Femelle de *Scaria macromaculata* Doucet & Itrac-Bruneau, n. sp. Photo : G. Delaitre / RNN des Nouragues.

avec *Scaria granti* Cadena-Castañeda, Mendes & Silva, 2019, dont seul un mâle a été décrit, peut se faire sur la base de la tache sur les tegmina plus petite (moins du tiers de la longueur de ces derniers alors qu'elle est bien plus étendue chez *S. macromaculata* Doucet & Itrac-Bruneau, n. sp.), de la forme du sternite 9 plus large que long et possédant des bords arrondis (plus long que large et à bords subparallèles chez *S. macromaculata* Doucet & Itrac-Bruneau, n. sp.) ainsi que la forme arrondie de l'épiprocte (triangulaire chez *S. macromaculata* Doucet & Itrac-Bruneau, n. sp.). La distinction avec *Scaria guyanensis* Doucet & Itrac-Bruneau, n. sp., dont seule une femelle est décrite, peut se faire sur la présence de bandes post-oculaires (absentes chez *S. guyanensis* Doucet & Itrac-Bruneau, n. sp.) et d'une tache de grande taille sur les tegmina (deux petites taches chez *S. guyanensis* Doucet & Itrac-Bruneau, n. sp.). Enfin *Scaria* sp., une espèce sans nom actuellement connue uniquement de quelques photographies postées sur iNaturalist et discutée dans Kasalo *et al.* (2021), peut aisément être différencié par la tache sur les tegmina formant une bande continue depuis leur base jusqu'à l'apex (une tache arrondie couvrant environ la moitié des tegmina chez *S. macromaculata* Doucet & Itrac-Bruneau, n. sp.), des fémurs antérieurs plus élancés (rapport longueur sur largeur égal à six) alors qu'ils sont plus trapus chez *S. macromaculata* Doucet & Itrac-Bruneau, n. sp. (rapport longueur sur largeur inférieur à cinq) ainsi qu'un espace interoculaire large (rapport espace interoculaire sur largeur d'un œil supérieur ou égal à un) tandis qu'il est plus étroit chez *S. macromaculata* Doucet & Itrac-Bruneau, n. sp. (rapport inférieur à un).

DESCRIPTION

Mâle holotype

Coloration générale (Fig. 5A-C, E). Corps à dominante brun-rougeâtre. Partie postérieure du pronotum (après l'insertion des pattes postérieures), parties basales des lobes latéraux du pronotum, abdomen et partie basale de la tête verdâtres. Partie antérieure de l'épine pronotale noire. Présence de bandes post-oculaires noirâtres. Deux derniers articles des palpes maxillaires et partie distale du troisième blanchâtres. Tegmina noirâtres, à l'exception de la zone d'insertion brun clair, et avec une tache jaune vif. Cerques bruns à leurs bases, plus clairs ensuite et bruns foncés à leurs extrémités.

Tête (Fig. 5C, D). Tête légèrement plus large que la partie antérieure du pronotum. Tégument faiblement granuleux. Yeux globuleux. Présence d'une bande post-oculaire derrière chaque œil. Antennes filiformes composées de 22 articles, le dernier pointu. En vue latérale, côte frontale régulièrement arrondie, sans angle marqué. Carènes faciales ne dépassant pas les pédicelles antennaires. En vue frontale, antennes insérées entre la ligne médiane et la partie basse des yeux. Côte frontale bifurquée juste en dessous du fastigium, dans la partie haute des yeux, ses carènes faciales fines, faiblement divergentes, presque parallèles (scutellum étroit), englobant l'ocelle médian situé sous la ligne reliant le bas des yeux. Ocelles latéraux positionnés hauts, légèrement en dessous de la bifurcation de la côte frontale. Derniers articles des palpes maxillaires dilatés et aplatis. En vue dorsale, yeux dépassant nettement le fastigium. Fastigium court, avec sa marge antérieure entaillée en son milieu par la côte frontale. Œil large (0,73 mm), 1,41 fois plus large que l'espace interoculaire (0,52 mm). Présence de lobes supra-oculaires.

Pronotum (Fig. 5A, B, D). Macropronotal, l'extrémité du pronotum dépassant largement les genoux des pattes postérieures (plus de 2 mm). En vue dorsale, carène médiane saillante, bien visible sur toute sa longueur. Absence de carènes latérales dans la prozone. Partie antérieure du pronotum terminée par une longue épine. Lobes latéraux dirigés vers le bas et tronqués. En vue latérale, marge antérieure fortement courbée depuis l'épine pronotale jusqu'à la prozone, présence d'une légère bosse dans la métazone, le reste plat.

Ailes (Fig. 5A, E). Tegmina et ailes postérieures présents. Tegmina elliptiques, longs de 1,42 mm. Présence d'une grande tache ovoïde (0,78 mm) débutant avant la moitié du tegmina et se terminant presque à son extrémité, et recouvrant le tegmina sur presque toute sa hauteur. Ailes postérieures (11,31 mm) 7,9 fois plus longues que les tegmina, dépassant nettement l'extrémité du pronotum.

Pattes (Fig. 5A). Fémurs des pattes antérieures élancés, 4,4 fois plus longs que larges, terminés par une épine émoussée. Présence de deux carènes dorsales peu saillantes et peu visibles. Fémurs des pattes médianes élancés, 4,5 fois plus longs que larges, terminés par une forte épine. Présence de deux carènes bien visibles sur la marge dorsale.

TABLE 2. — Synthèse des mesures réalisées sur les différents individus de *Scaria macromaculata* Doucet & Itrac-Bruneau, n. sp.

Paramètres mesurés (en mm)	Femelles				Mâles			
	n	[Min; Max]	Moyenne (écart-type)	Allotype ♀	n	[Min; Max]	Moyenne (écart-type)	Holotype ♂
Longueur du corps (LC)	6	[13,81; 15,45]	14,65 (0,59)	14,33	4	[12,86; 14,33]	13,48 (0,64)	13,16
Longueur pronotum (LP)	6	[13,38; 14,93]	14,26 (0,61)	13,85	4	[12,34; 12,90]	12,63 (0,29)	12,90
Largeur tête (WT)	6	[2,11; 2,24]	2,20 (0,05)	2,20	4	[1,99; 2,07]	2,01 (0,04)	1,99
Espace interoculaire (EIO)	6	[0,52; 0,65]	0,58 (0,05)	0,65	4	[0,43; 0,52]	0,49 (0,04)	0,52
Largeur œil (WO)	6	[0,78; 0,84]	0,81 (0,03)	0,78	4	[0,73; 0,78]	0,76 (0,02)	0,73
Largeur fémur antérieur (WFA)	6	[0,52; 0,56]	0,55 (0,02)	0,56	5	[0,52; 0,60]	0,55 (0,03)	0,60
Longueur fémur antérieur (LFA)	6	[2,63; 2,72]	2,69 (0,04)	2,68	5	[2,42; 2,50]	2,44 (0,04)	2,46
Largeur fémur médian (WFM)	6	[0,56; 0,65]	0,62 (0,04)	0,65	5	[0,56; 0,60]	0,58 (0,02)	0,56
Longueur fémur médian (LFM)	6	[2,72; 2,98]	2,83 (0,09)	2,76	5	[2,42; 2,50]	2,48 (0,04)	2,50
Largeur fémur postérieur (WFP)	6	[1,99; 2,16]	2,12 (0,07)	2,11	5	[1,64; 1,73]	1,68 (0,05)	1,73
Longueur fémur postérieur (LFP)	6	[7,16; 7,55]	7,43 (0,14)	7,42	5	[6,13; 6,47]	6,32 (0,15)	6,47
Longueur tegmina (LT)	6	[1,55; 1,64]	1,57 (0,04)	1,55	4	[1,25; 1,42]	1,30 (0,08)	1,42
Longueur tache tegmina (LTT)	6	[0,65; 0,95]	0,81 (0,13)	0,78	4	[0,52; 0,78]	0,63 (0,11)	0,78
Longueur aile postérieure (LAP)	6	[11,48; 12,34]	11,85 (0,38)	11,52	4	[10,79; 11,31]	10,92 (0,26)	11,31
Longueur de la plaque sous-génitale (LPSG)	5	[0,73; 1,29]	1,08 (0,21)	1,08	—	—	—	—
Longueur ovipositeur (LOVI)	6	[1,42; 1,68]	1,57 (0,10)	1,64	—	—	—	—
Hauteur valve dorsale ovipositeur (HVDO)	6	[0,35; 0,39]	0,38 (0,02)	0,39	—	—	—	—
Longueur avant dernier sternite (LADS)	—	—	—	—	4	[0,86; 1,21]	1,05 (0,14)	1,21
Rapport EIO / WO	6	[0,63; 0,83]	0,72 (0,08)	0,83	4	[0,56; 0,71]	0,64 (0,06)	0,71
Rapport LFM / WFM	6	[4,27; 5,00]	4,58 (0,24)	4,27	5	[4,00; 4,46]	4,24 (0,21)	4,46
Rapport LTT / LT	6	[0,42; 0,61]	0,52 (0,08)	0,50	4	[0,41; 0,55]	0,48 (0,06)	0,55

Carènes des fémurs antérieurs et médians droites, non lobées ou sinuées. Fémurs des pattes postérieures 3,8 fois plus longs que larges.

Abdomen (Fig. 5F-H). Épiprocte court (n'atteignant pas le milieu de la plaque sous-génitale), en forme d'as de pique (légèrement arrondi, terminé par une petite expansion pointue). En vue latérale, la plaque sous-génitale forme presque un angle droit. Cerques coniques, régulièrement rétrécis depuis la base, terminés par une soie épaisse.

Mensurations. Voir Tableau 2.

Variations observées chez les paratypes ♂

Taille de la tache sur les tegmina parfois légèrement plus petite mais toujours très étendue. Coloration des côtés de l'abdomen pouvant présenter des zones plus sombres. Bandes post-oculaires d'intensité variable mais toujours présentes. Tache brune à l'insertion des tegmina parfois absente. Palpes maxillaires plus clairs mais non blanchâtres. Partie basale de la tête claire mais non verdâtre.

Femelle allotype

Coloration générale (Fig. 6A-C, E-G). Partie dorsale du pronotum à dominante brune, légèrement plus claire en partie antérieure (métazone). Une zone décolorée en partie gauche, un peu après la zone d'insertion de la patte postérieure. Lobes latéraux du pronotum majoritairement bruns, avec une bande plus foncée dans la continuité de la bande post-oculaire. Partie antérieure de l'épine pronotale noire. Pattes brun-rougeâtres. Tête majoritairement brune avec présence d'une bande post-oculaire noirâtre. Deux derniers articles des palpes maxillaires à dominante claire

(plus prononcé sur celui de droite). Tegmina noirâtres avec une tache jaune vif. Côtés de l'abdomen jaunâtres avec des zones brunes. Dessous de l'abdomen plus clair. Cerques bruns à leurs bases, plus clairs ensuite et bruns foncés à leurs extrémités. Apex de la plaque sous-génitale brune dans sa partie centrale en vue ventrale.

Tête (Fig. 6C, D). Identique au mâle excepté les caractères suivants. Tête aussi large que la partie antérieure du pronotum. Antennes composées de 23 articles. En vue dorsale, yeux dépassant légèrement le fastigium. Marge antérieure du fastigium droite, non entaillée en son milieu par la côte frontale. Œil large (0,78 mm), 1,2 fois plus large que l'espace interoculaire (0,65 mm).

Pronotum (Fig. 6A, B, D). Identique au mâle.

Ailes (Fig. 6A, E). Identique au mâle excepté les caractères suivants. Tegmina longs de 1,55 mm. Ailes postérieures (11,52 mm) 7,4 fois plus longues que les tegmina.

Pattes (Fig. 6A, E). Identique au mâle excepté les caractères suivants. Fémurs des pattes antérieures 4,1 fois plus longs que larges. Fémurs des pattes médianes 4,3 fois plus longs que larges. Fémurs des pattes postérieures 3,5 fois plus longs que larges.

Abdomen (Fig. 6F, G). Partie terminale de l'épiprocte triangulaire se terminant en une petite pointe. Cerques coniques, régulièrement rétrécis depuis la base, terminés par une soie épaisse. En vue ventrale, plaque sous-génitale plus longue que large, doublement échancrée à son extrémité, en forme de « 3 ». Ovipositeur élané, sa longueur 4,2 fois la hauteur

de la valve dorsale. Valves dorsales pourvues de dents marquées et de tailles irrégulières. Ovipositeur environ 1,5 fois la longueur de la plaque sous-génitale.

Mensurations. Voir Tableau 2.

Variations observées chez les paratypes ♀

Bandes post-oculaires d'intensité variable mais toujours présentes. Coloration des lobes latéraux plus homogène. Taille de la tache sur les tegmina variable mais toujours très étendue. Coloration de la tache des tegmina variable (parfois beige). Présence d'une zone brun clair au niveau de l'insertion des tegmina. Tache brune de la plaque sous-génitale plus étendue. Coloration plus homogène au niveau des palpes maxillaires.

Scaria madeleinae n. sp.
(Figs 8 ; 9 ; 10A, B ; 15K)

urn:lsid:zoobank.org:act:33544D7B-89A0-4875-ADF9-D06DDC86C152

MATÉRIEL TYPE. — **Holotype.** Guyane • 1 ♂; [Régina], Arataye, affl. Approuages, aval du Saut Pararé; abattage de jour, arbre n°1; 4.VII.1988; L. Desutter & P. Grandcolas leg.; MNHN-EO-CAELIF11280.

Allotype. Guyane • 1 ♀; [Régina], Arataye, affl. Approuages, aval du Saut Pararé; abattage de jour, 1; 4.VII.1988; L. Desutter & P. Grandcolas leg.; MNHN-EO-CAELIF11281.

Paratypes. Guyane • 1 ♂; [Camopi], Camp Couleuvre, Mont St Marcel, Oyapock; 21.III.1976; M. Descamps leg.; MNHN-EO-CAELIF11282 • 1 ♂; [Camopi], Camp Pinot, entre Trois Sauts et Mont St Marcel, Oyapock; 30.III.1976; M. Descamps leg.; MNHN-EO-CAELIF11283 • 2 ♀; [Régina], Arataye, affl. Approuages, aval du Saut Pararé; abattage de jour, arbre n°5; 11.VII.1988; L. Desutter & P. Grandcolas leg.; MNHN-EO-CAELIF11284, MNHN-EO-CAELIF11285.

AUTRE MATÉRIEL. — **Guyane** • 1 ♂; [Camopi], Mont Itoupé; 03°01'19"N, 53°05'03"W; alt. 800 m; piège à interception vitré; 17.III.2010; SEAG leg.; coll. DM.

ÉTYMOLOGIE. — Le nom d'espèce est dédié à la bien-aimée et regrettée grand-mère (Madeleine Bruneau) de la première autrice.

DIAGNOSE. — Parmi les 13 espèces actuellement recensées du genre *Scaria* (Cadena-Castañeda *et al.* 2019; Kasalo *et al.* 2021) auxquelles s'ajoutent les deux autres décrites dans cet article, seules deux n'ont pas de tache sur les tegmina : *Scaria maculata* Giglio-Tos, 1898 et *Scaria lineata* Bolívar, 1887.

La distinction avec le premier taxon est aisée puisqu'elle peut se faire sur la base de l'observation de bandes post-oculaires (absentes chez *S. maculata*), de la forme triangulaire de l'épiprocte du mâle (arrondi chez *S. maculata*), de la longueur du dernier segment abdominal par rapport à l'avant dernier (rapport inférieur ou égal à 1, contre environ 1,3 chez *S. maculata*) et de la longueur du pronotum qui dépasse fortement les genoux des fémurs postérieurs (il dépasse tout juste les genoux chez *S. maculata*). La distinction avec *S. lineata* se fait par la forme de la plaque sous-génitale de la femelle (avec une invagination médiane chez *S. lineata*), la forme triangulaire de l'épiprocte du mâle (ovoïde chez *S. lineata*), la forme élancée du fémur de la patte médiane (trapue chez *S. lineata*) et enfin une coloration générale brun-jaune clair du pronotum, au moins chez les individus conservés à sec (pronotum noirâtre avec une ligne claire le long de la carène chez *S. lineata*).

DESCRIPTION

Mâle holotype

Coloration générale (Fig. 10A). Corps à dominante brun clair. Pronotum plus foncé dans sa partie postérieure. Face et parties basales des lobes latéraux du pronotum brun foncé. Partie antérieure de l'épine pronotale noire. Présence de bandes post-oculaires noirâtres. Quatre derniers articles des palpes maxillaires blanchâtres. Fémurs postérieurs avec une tache sur la carène ventrale externe en partie proximale. Tegmina noirâtres, sans tache. Cerques bruns à leurs bases et plus foncés à leurs extrémités.

Tête. Tête légèrement plus large que la partie antérieure du pronotum. Tégument faiblement granuleux. Yeux globuleux. Antennes filiformes composées de 22 articles, le dernier pointu. Présence d'une bande post-oculaire derrière chaque œil. En vue latérale, côte frontale régulièrement arrondie, sans angle marqué. Carènes faciales ne dépassant pas les pédicelles antennaires. En vue frontale, antennes insérées juste au-dessus de la ligne reliant le bas des yeux. Côte frontale bifurquée en dessous du fastigium, juste au-dessus du milieu des yeux, ses carènes faciales fines, faiblement divergentes, presque parallèles (scutellum étroit), englobant l'ocelle médian situé nettement sous la ligne reliant le bas des yeux. Ocelles latéraux positionnés au niveau du milieu des yeux, légèrement en dessous de la bifurcation de la côte frontale. Derniers articles des palpes maxillaires dilatés et aplatis. En vue dorsale, yeux dépassant le fastigium. Fastigium court et étroit, pourvu de deux petits lobes collés aux yeux. Œil large (0,76 mm), 1,46 fois plus large que l'espace interoculaire (0,52 mm). Présence de lobes supra-oculaires.

Pronotum (Fig. 10A). Macropronotal, l'extrémité du pronotum dépassant largement les genoux des pattes postérieures. En vue dorsale, carène médiane très peu saillante, bien visible sur toute sa longueur. Partie antérieure du pronotum terminée par une longue épine. Lobes latéraux dirigés vers le bas et tronqués. En vue latérale, marge antérieure fortement courbée depuis l'épine pronotale jusqu'à la prozone, présence d'une légère bosse dans la métazone, le reste plat.

Ailes (Fig. 10A). Tegmina et ailes postérieures présents. Tegmina elliptiques, longs de 1,34 mm, sans tache. Ailes postérieures (11,05 mm) 8,3 fois plus longues que les tegmina, dépassant nettement l'extrémité du pronotum.

Pattes (Fig. 10A). Fémurs des pattes antérieures très élancés, six fois plus longs que larges, terminés par une épine émoussée. Présence de deux carènes dorsales peu saillantes et peu visibles. Fémurs des pattes médianes très élancés, 6,3 fois plus longs que larges, terminés par une forte épine. Présence de deux carènes bien délimitées sur la marge dorsale. Carènes des fémurs antérieurs et médians droites, non lobées ou sinuées. Fémurs des pattes postérieures 4,1 fois plus longs que larges. Griffes du tarse de la patte médiane droite manquantes.

Abdomen (Fig. 10B). Épiprocte court (atteignant le début de la plaque sous-génitale), de forme triangulaire terminée en pointe. En vue latérale, plaque sous-génitale allongée, dans le

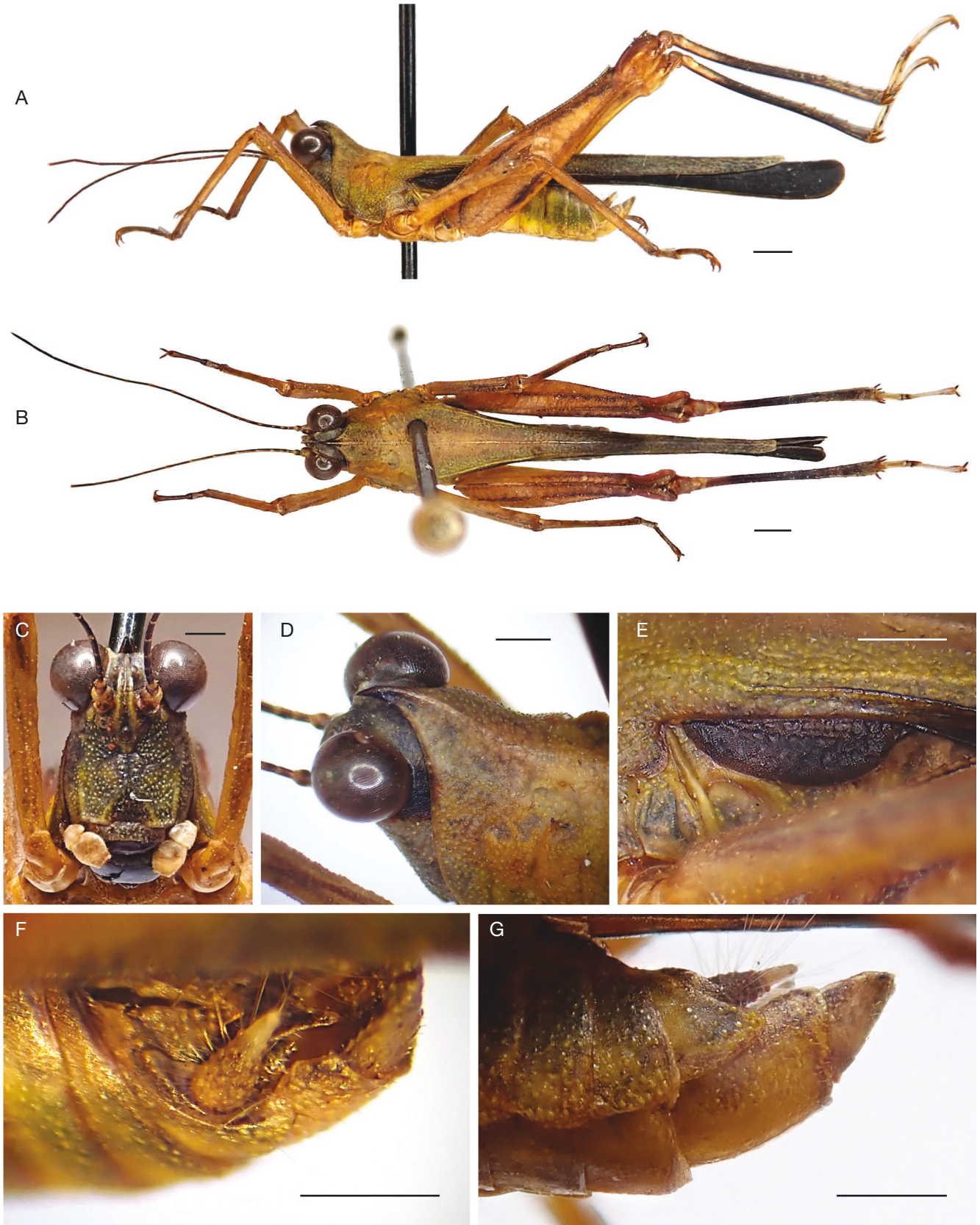


FIG. 8. — *Scaria madeleineae* n. sp. paratype ♂, MNHN-EO-CAELIF11283 : **A**, habitus en vue latérale ; **B**, habitus en vue dorsale ; **C**, tête vue de face ; **D**, tête en vue latéro-dorsale ; **E**, tegmen ; **F**, extrémité de l'abdomen en vue dorsale ; **G**, extrémité de l'abdomen en vue latérale. Photos : G. Doucet. Échelles : A, B, 1 mm ; C-G, 0,5 mm.

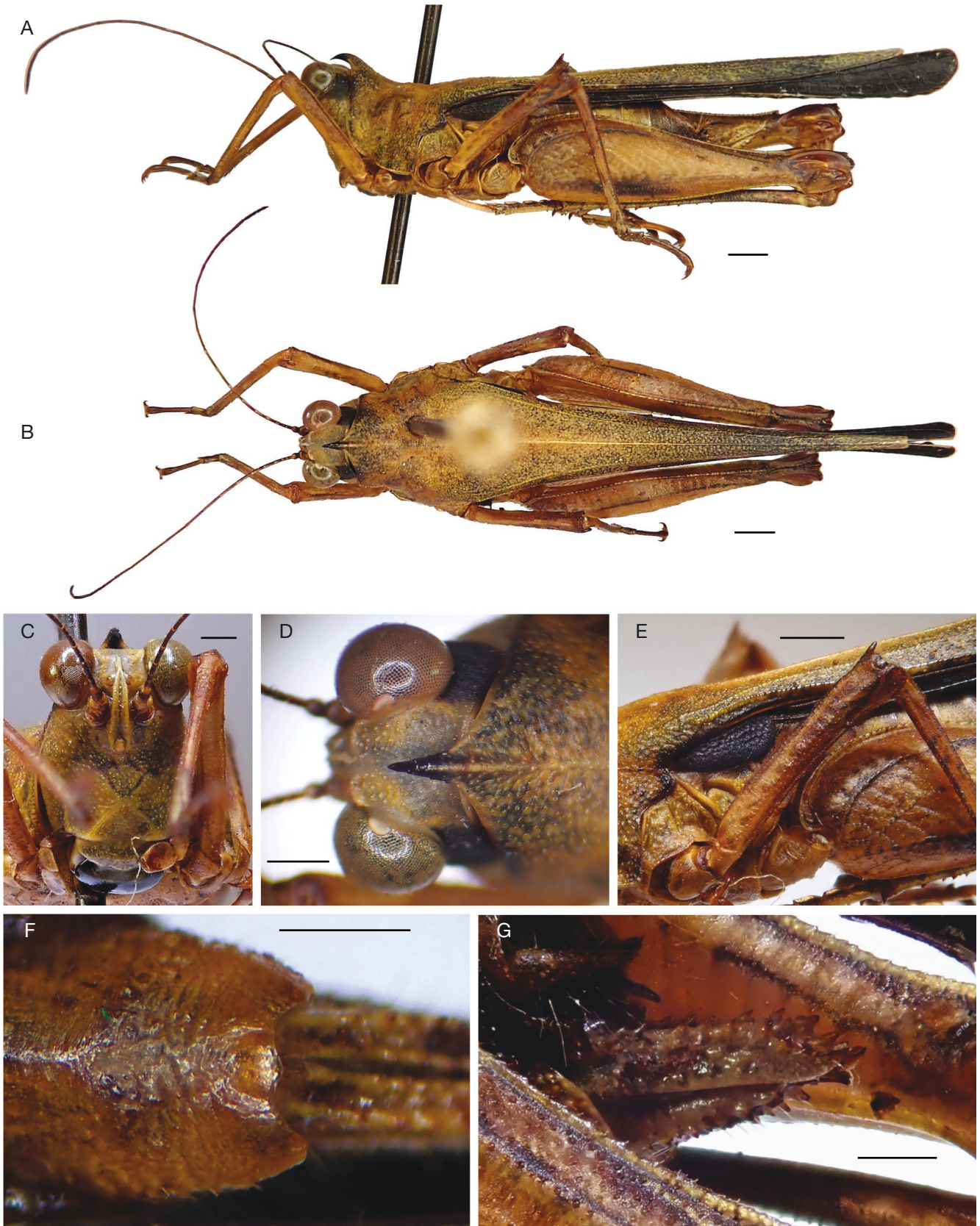


FIG. 9. — *Scaria madeleineae* n. sp. allotype ♀, MNHN-EO-CAELIF11281 : **A**, habitus en vue latérale; **B**, habitus en vue dorsale; **C**, tête vue de face; **D**, tête en vue dorsale; **E**, partie médiane du pronotum en vue latérale et tegmen; **F**, extrémité de l'abdomen en vue ventrale; **G**, extrémité de l'abdomen en vue latérale. Photos : G. Doucet. Échelles : A-E, 1 mm; F, G, 0,5 mm.

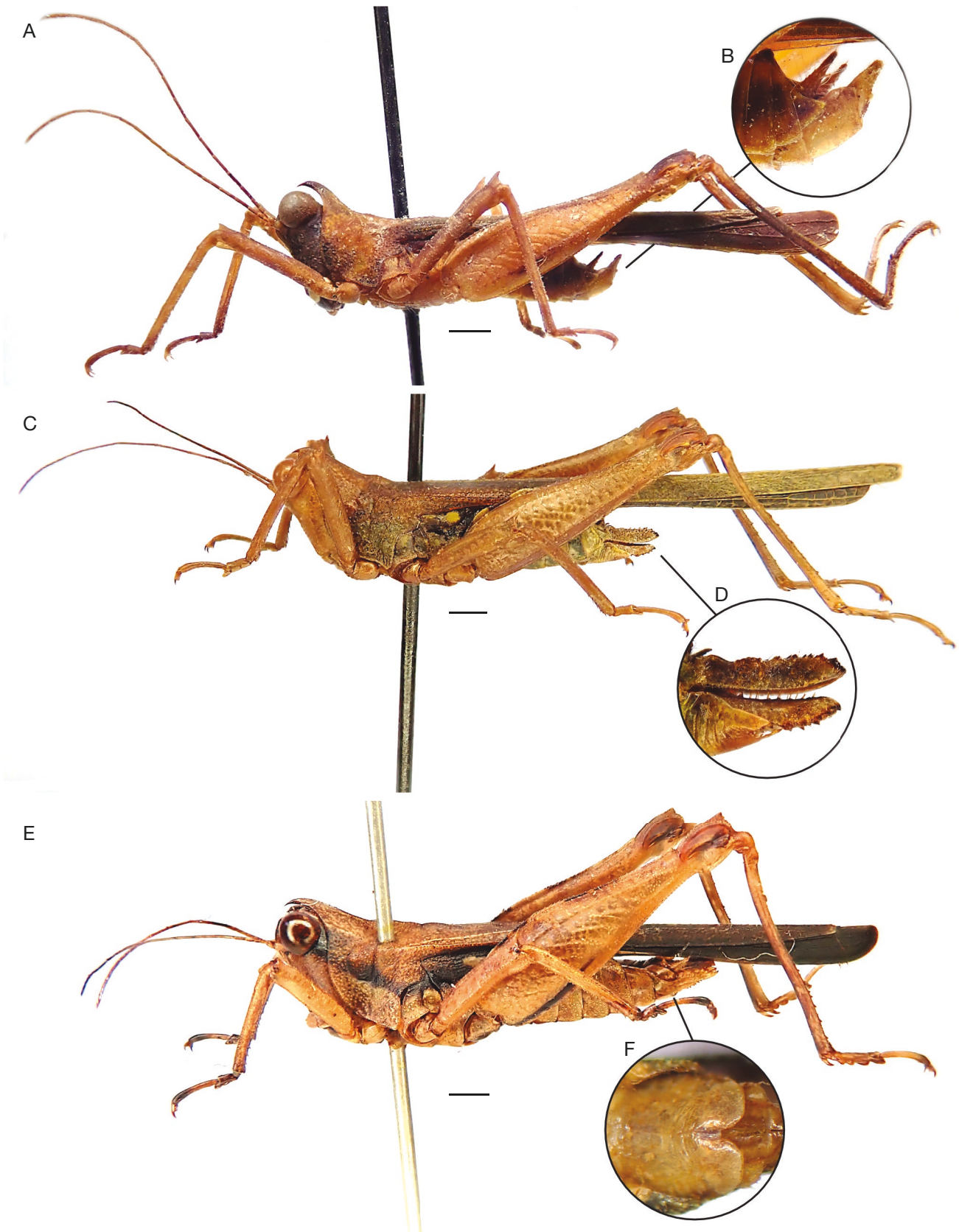


FIG. 10. — *Scaria madeleineae* n. sp. holotype ♂, MNHN-EO-CAELIF11280 (A, B), *Scaria producta* Hancock, 1907 (C, D) et *Scaria hamata* (De Geer, 1773) (E, F) : A, habitus en vue latérale; B, extrémité de l'abdomen en vue latérale; C, habitus en vue latérale; D, extrémité de l'abdomen en vue latérale; E, habitus en vue latérale; F, plaque sous-génitale en vue ventrale. Photos : G. Doucet. Échelles : A, C, E, 1 mm.

prolongement du segment précédent. En vue dorsale, plaque sous-génitale présentant un sillon étroit sur toute sa longueur. Cerques longs, coniques, régulièrement rétrécis depuis la base et terminés par une soie épaisse.

Mensurations. Voir Tableau 3.

Variations observées chez les paratypes ♂

Coloration de la face brun clair à verdâtre. Contraste plus marqué entre la couleur de la face et les bandes post-oculaires. Palpes maxillaires à coloration variable. Parties basales des lobes latéraux du pronotum verdâtres. Pattes postérieures avec les tarsi et les parties proximales des tibias blanchâtres, le reste des tibias noirâtres. Fémurs postérieurs avec une ligne noirâtre sur la carène dorsale externe en partie proximale. Cerques bruns à leurs bases et plus clairs à leurs extrémités.

Femelle allotype

Coloration générale (Fig. 9A-E). Corps à dominante brun clair. Face, partie antérieure du pronotum et lobes latéraux jaunâtres. Pronotum plus foncé dans sa partie postérieure. Partie antérieure de l'épave pronotale noire. Présence de bandes post-oculaires noirâtres. Quatrième article des palpes maxillaires blanchâtre, les troisième et cinquième en partie blanchâtres, le reste brunâtre. Fémurs postérieurs avec une ligne noirâtre sur la carène dorsale externe et une tache sur la carène ventrale externe en partie proximale. Tegmina noirâtres, sans tache.

Tête (Fig. 9C, D). Identique au mâle excepté les caractères suivants. Tête légèrement plus étroite que la partie antérieure du pronotum. Antennes filiformes composées de 23 articles, le dernier pointu, insérées juste au-dessous de la ligne reliant le bas des yeux. Œil (0,78 mm) 1,13 fois plus large que l'espace interoculaire (0,69 mm).

Pronotum (Fig. 9A, D). Identique au mâle.

Ailes (Fig. 9A, E). Identique au mâle excepté les caractères suivants. Tegmina longs de 1,68 mm. Ailes postérieures (12,56 mm) 7,5 fois plus longues que les tegmina.

Pattes (Fig. 9A, E). Identique au mâle excepté les caractères suivants. Fémurs des pattes antérieures 6,3 fois plus longs que larges. Fémurs des pattes médianes 6,8 fois plus longs que larges. Fémurs des pattes postérieures quatre fois plus longs que larges.

Abdomen (Fig. 9F, G). Épiprocte se terminant en une longue pointe. Cerques coniques, régulièrement rétrécis depuis la base, terminés par une soie épaisse. En vue ventrale, plaque sous-génitale plus longue que large, doublement échancrée à son extrémité, en forme de « 3 ». Ovipositeur élancé, sa longueur 4,9 fois la hauteur de la valve dorsale. Valves dorsales pourvues de dents marquées et de tailles irrégulières. Ovipositeur environ 1,6 fois la longueur de la plaque sous-génitale.

Mensurations. Voir Tableau 3.

Variations observées chez les paratypes ♀

Coloration générale variable (du jaune au brun foncé).

*Scaria producta** Hancock, 1907
(Figs 10C, D; 15L)

Scaria producta Hancock 1907: 70. — Cadena-Castañeda *et al.* 2019.

LOCALITÉ TYPE. — Pérou, Pachitea.

DISTRIBUTION. — Colombie, Brésil, Pérou (Cadena-Castañeda *et al.* 2019) et Guyane (nouveau pour le département).

MATÉRIEL EXAMINÉ. — **Guyane** • 1 ♀; [Régina], Pied Saut Pararé; VIII.1977; M. Descamps leg.; MNHN • 1 ♀; [Régina], Pied Saut Pararé; 12.VIII.1977; M. Descamps leg.; MNHN • 3 ♀; [Régina], Pied Saut Pararé; IX.1977; M. Descamps leg.; MNHN • 1 ♀; [Régina], Arataye, affl. Approuages, aval du Saut Pararé; abattage de nuit, 4; 10.VII.1988; L. Desutter & P. Grandcolas leg.; MNHN • 1 ♂, 2 ♀; [Régina], Arataye, affl. Approuages, aval du Saut Pararé; abattage de jour, arbre n°5; 11.VII.1988; L. Desutter & P. Grandcolas leg.; MNHN • 1 ♀; [Régina], Arataye, affl. Approuages, aval du Saut Pararé; abattage de jour, arbre n°17; 19.VII.1988; L. Desutter & P. Grandcolas leg.; MNHN.

Genre *Tettigidea* Scudder, 1862

Tettigidea claudei Itrac-Bruneau & Doucet, 2022
(Fig. 15M)

Tettigidea claudei Itrac-Bruneau & Doucet, 2022 : 408.

LOCALITÉ TYPE. — Guyane, Kourou.

DISTRIBUTION. — Guyane (Itrac-Bruneau & Doucet 2022).

MATÉRIEL EXAMINÉ. — **Guyane** • 2 ♂; Cayenne; collection Brünner, collection A. Finot 1908; MNHN-EO-CAELIF11295, MNHN-EO-CAELIF11296 • 1 ♂; Cayenne; collection A. Finot 1908; MNHN-EO-CAELIF11297 • 1 ♀; [Saint-Laurent-du-Maroni], Nouveau Chantier; janvier; collection Le Moul, collection Lucien Chopard 1914; MNHN-EO-CAELIF11298 • 1 ♂, 1 ♀; [Kourou], Gourdonville; octobre; R. Benoist 1914; MNHN-EO-CAELIF11299, MNHN-EO-CAELIF11300 • 2 ♂, 1 ♀; Régina, Approuague; 18.IV.1976; M. Descamps leg.; MNHN-EO-CAELIF11301, MNHN-EO-CAELIF11302, MNHN-EO-CAELIF11303.

*Tettigidea pulchella** Rehn, 1904
(Figs 11; 15N)

Tettigidea pulchella Rehn, 1904: 669. — Rehn 1916: 269. — Silva *et al.* 2021: 50, fig. 61.

LOCALITÉ TYPE. — Guyane, Bartica.

DISTRIBUTION. — Guyane (Rehn 1904; Silva *et al.* 2021) et Guyane (nouveau pour le département).

MATÉRIEL EXAMINÉ. — **Guyane** • 1 ♂; [Saint-Laurent-du-Maroni], Saint-Jean-du-Maroni; R. Benoist 1914; MNHN-EO-CAELIF11286 • 1 ♀; Saint-Laurent-du-Maroni; février; collection Le Moul, col-

TABLE 3. — Synthèse des mesures réalisées sur les différents individus de *Scaria madeleineae* n. sp.

Paramètres mesurés (en mm)	Femelles				Mâles			
	n	[Min; Max]	Moyenne (écart-type)	Allotype ♀	n	[Min; Max]	Moyenne (écart-type)	Holotype ♂
Longueur du corps (LC)	2	[14,46; 15,28]	14,87 (0,58)	15,28	3	[12,69; 13,47]	12,98 (0,43)	12,69
Longueur pronotum (LP)	2	[13,81; 14,67]	14,24 (0,61)	14,67	3	[12,26; 12,86]	12,55 (0,30)	12,26
Largeur tête (WT)	3	[2,24; 2,24]	2,24 (0)	2,24	3	[1,99; 2,03]	2,00 (0,02)	2,03
Espace interoculaire (EIO)	3	[0,69; 0,69]	0,69 (0)	0,69	3	[0,47; 0,56]	0,52 (0,05)	0,52
Largeur œil (WO)	3	[0,78; 0,78]	0,78 (0)	0,78	3	[0,71; 0,76]	0,74 (0,03)	0,76
Largeur fémur antérieur (WFA)	3	[0,52; 0,52]	0,52 (0)	0,52	3	[0,43; 0,47]	0,46 (0,02)	0,47
Longueur fémur antérieur (LFA)	3	[3,28; 3,28]	3,28 (0)	3,28	3	[3,11; 3,28]	3,17 (0,10)	3,11
Largeur fémur médian (WFM)	3	[0,52; 0,52]	0,52 (0)	0,52	3	[0,47; 0,52]	0,49 (0,03)	0,52
Longueur fémur médian (LFM)	3	[3,50; 3,71]	3,58 (0,11)	3,54	3	[3,28; 3,45]	3,37 (0,09)	3,28
Largeur fémur postérieur (WFP)	3	[2,07; 2,16]	2,11 (0,05)	2,07	3	[1,73; 1,77]	1,74 (0,02)	1,73
Longueur fémur postérieur (LFP)	3	[8,29; 8,55]	8,38 (0,15)	8,29	3	[7,08; 7,12]	7,09 (0,02)	7,12
Longueur tegmina (LT)	3	[1,68; 1,77]	1,73 (0,05)	1,68	3	[1,25; 1,38]	1,32 (0,07)	1,34
Longueur aile postérieure (LAP)	3	[12,47; 12,69]	12,57 (0,11)	12,56	3	[10,53; 11,05]	10,88 (0,30)	11,05
Longueur de la plaque sous-génitale (LPSG)	3	[0,95; 1,21]	1,07 (0,13)	1,04	–	–	–	–
Longueur ovipositeur (LOVI)	3	[1,68; 1,86]	1,78 (0,09)	1,68	–	–	–	–
Hauteur valve dorsale ovipositeur (HVDO)	3	[0,35; 0,39]	0,38 (0,02)	0,35	–	–	–	–
Longueur avant dernier sternite (LADS)	–	–	–	–	3	[0,73; 0,86]	0,82 (0,08)	0,86
Rapport EIO / WO	3	[0,89; 0,89]	0,89 (0)	0,89	3	[0,63; 0,79]	0,70 (0,08)	0,69
Rapport LFM / WFM	3	[6,75; 7,17]	6,92 (0,22)	6,83	3	[6,33; 7,27]	6,90 (0,50)	6,33

lection Lucien Chopard 1914; MNHN-EO-CAELIF11287 • 1 ♀; [Apatou], La Forestière, Haut Maroni; mai; collection Le Moul, collection Lucien Chopard 1914; MNHN-EO-CAELIF11288 • 2 ♂; Saül; 29.X.1969; Balachowsky-Gruner leg.; MNHN-EO-CAELIF11289, MNHN-EO-CAELIF11290.

REMARQUE

L'espèce a été décrite à partir d'une unique femelle par Rehn (1904). En 1916, celui-ci a donné quelques éléments succincts (coloration et longueur des ailes postérieures) sur le mâle (Rehn 1916). Pour mieux caractériser ce dernier, nous proposons une description plus complète à partir du matériel examiné.

REDESCRIPTION

Mâle

Coloration générale (Fig. 11A-C, G). Partie supérieure de la tête, yeux, partie dorsale et partie haute des lobes latéraux du pronotum, pattes postérieures et parties visibles des ailes postérieures bruns. Partie inférieure de la tête, antennes, partie basale des lobes latéraux du pronotum, majeure partie de l'abdomen, pattes antérieures et médianes et palpes maxillaires beiges. Cerques bruns dans leur partie proximale et plus clairs dans leur partie distale. Tegmina bruns avec présence d'une tache beige à leur extrémité.

Tête (Fig. 11C-E). Tête avec des yeux bien développés, environ aussi large que la partie antérieure du pronotum. Tégument faiblement granuleux. En vue latérale, côte frontale régulièrement courbée, sans angle marqué. Côte frontale ne dépassant pas le pédicelle antennaire. Antennes filiformes composées de 21 articles, le dernier pointu. Vertex ne dépassant pas le haut des yeux. En vue frontale, antennes insérées dans la partie basse des yeux. Côte frontale bifurquée juste en dessous du fastigium, dans la partie haute des yeux, ses carènes latérales fines, faiblement divergentes, presque parallèles (scutellum

étroit), englobant l'ocelle médian situé sous la ligne reliant le bas des yeux. Ocelles latéraux positionnés légèrement au dessus du milieu des yeux. Derniers articles des palpes maxillaires dilatés et aplatis. En vue dorsale, fastigium atteignant tout juste le bord antérieur des yeux, laissant apparaître la côte frontale et les ocelles latéraux. Carène médiane du vertex fine, saillante en partie antérieure, entaillant la carène transverse en son milieu. Vertex relativement plat, sans dépression. Œil large (0,50 mm), 1,06 fois plus large que l'espace interoculaire (0,47 mm). Présence de lobes supra-oculaires.

Pronotum (Fig. 11A, B, D, E). Macropronotal, l'extrémité du pronotum atteignant presque celles des genoux et dépassant l'extrémité de l'abdomen. Tégument granuleux. Carène médiane légèrement saillante, bien visible sur toute sa longueur. Absence de carènes dorsales supplémentaires dans la métazone. Présence de deux carènes latérales bien visibles dans la prozone. Partie antérieure du pronotum formant un angle aigu et terminé par une forte épine. Lobes latéraux dirigés vers le bas et tronqués. En vue latérale, pronotum plat. Carènes huméro-apicales bien visibles.

Ailes (Fig. 11A, E). Tegmina et ailes postérieures présents. Tegmina elliptiques, longs de 1,04 mm. Présence d'une tache claire en forme de croissant à l'extrémité des tegmina. Ailes postérieures (5,52 mm) 5,3 fois plus longues que les tegmina, dépassant l'extrémité du pronotum et celle des genoux. Longueur du tegmen égale à environ $\frac{3}{4}$ de la largeur du côté du pronotum (DPT).

Pattes (Fig. 11A, E). Fémurs des pattes antérieures allongés, 3,6 fois plus longs que larges, à section ovoïde. Marge dorsale portant en son milieu une très légère carène émoussée. Fémurs des pattes médianes allongés, 3,45 fois plus longs que larges. Marge dorsale présentant un sillon délimité par deux carènes

distinctes. Carènes des fémurs antérieurs et médians droites, non lobées ou sinuées. Fémurs des pattes postérieures trois fois plus longs que larges.

Abdomen (Fig. 11F, G). Pointe de l'épiprocte triangulaire, atteignant presque le milieu de la plaque sous-génitale. Cerques coniques et élargés. Plaque sous-génitale légèrement allongée en vue latérale (presque triangulaire), présentant un sillon dorsal et une carène ventrale médiane bien marquée.

Mensurations. LC 7,42 mm; LP 6,95 mm; WT 1,47 mm; WO 0,50 mm; EIO 0,47 mm; LFA 1,55 mm; LFM 1,64 mm; LFP 4,66 mm; WFA 0,43 mm; WFM 0,47 mm; WFP 1,55 mm; LT 1,04 mm; LAP 5,52 mm; DPT 1,42 mm.

Variations observées chez les autres ♂ examinés

Coloration de la partie supérieure du corps brun plus foncé. Coloration des yeux différente (bicolore).

Sous-famille LOPHOTETTIGINAE Hancock, 1909

Genre *Lophotettix* Hancock, 1909

REMARQUE

Dalens *et al.* (2011) avaient identifié plusieurs *Lophotettix* provenant de la Réserve naturelle des Nouragues (Saut Pararé) comme appartenant à *Lophotettix unicoloratus* Hancock, 1909. Cette information avait été reprise dans la première synthèse des Tetrigidae de Guyane (Itrac-Bruneau & Doucet 2022). Cependant, un nouvel examen des spécimens, notamment à l'aune de la publication de Kasalo *et al.* (2022), nous conduit à retirer *L. unicoloratus* de la liste des espèces connues du département.

*Lophotettix alticristatus** Hancock, 1909
(Figs 12A; 15A)

Lophotettix alticristatus Hancock, 1909. — Silva *et al.* 2019b: 348. — Kasalo *et al.* 2022: 229.

LOCALITÉ TYPE. — Brésil.

DISTRIBUTION. — Brésil, Pérou, Équateur (Kasalo *et al.* 2022) et Guyane (nouveau pour le département).

MATÉRIEL EXAMINÉ. — **Guyane** • 1 ind; [Régina], Nouragues, Saut Pararé; 04°02'26.8"N, 52°40'35.2"W; piège cryldé; 20.VII.2009; SEAG leg.; coll. DM.

*Lophotettix hancocki** (Bruner, 1910)
(Figs 12B-D; 15B)

Gladiotettix hancocki Bruner, 1910: 102. — Liebermann 1955: 332. — Grant 1957: 38.

Phelene hancocki – Steinmann 1969: 384.

Lophotettix hancocki – Hancock 1914: 328. — Silva *et al.* 2019b: 352. — Kasalo *et al.* 2022: 230.

LOCALITÉ TYPE. — Brésil, Pará.

DISTRIBUTION. — Brésil, Équateur (Kasalo *et al.* 2022) et Guyane (nouveau pour le département).

MATÉRIEL EXAMINÉ. — **Guyane** • 1 ♀; [Régina], Nouragues, Saut Pararé; 04°02'26.8"N, 52°40'35.2"W; piège à vitre; 11.VIII.2009; SEAG leg.; coll. DM • 1 ♂; [Régina], Nouragues, Saut Pararé; 04°02'26.8"N, 52°40'35.2"W; piège cryldé; 12.VIII.2009; SEAG leg.; coll. DM • 1 ind; [Régina], Nouragues, Saut Pararé; 04°02'26.8"N, 52°40'35.2"W; piège à vitre; 28.I.2010; SEAG leg.; coll. DM.

Genre *Phelene* Bolívar, 1906

Phelene maroon Cadena-Castañeda & Tumbrinck, 2021
(Figs 13; 15F)

Phelene maroon Cadena-Castañeda & Tumbrinck *in* Cadena-Castañeda *et al.* 2021: 362. — Itrac-Bruneau & Doucet 2022: 415.

LOCALITÉ TYPE. — Guyane, Régina, Montagne de Kaw.

DISTRIBUTION. — Guyane (Cadena-Castañeda *et al.* 2021).

MATÉRIEL EXAMINÉ. — **Guyane** • 1 ♀; [Saint-Laurent-du-Maroni], Charvein; février; R. Benoist 1914; MNHN-EO-CAELIF11293 • 1 ♀; [Saint-Laurent-du-Maroni], Saint-Jean-du-Maroni; mai; collection Le Moul, collection Lucien Chopard 1914; MNHN-EO-CAELIF11294 • 1 ♂; Roura, Montagne aux chevaux, RN2, PK22, Carrière du Galion; piège à vitre; 8.III.2009; SEAG leg.; coll. DM • 1 ♂; Roura, Montagne aux chevaux, RN2, PK22, Carrière du Galion; piège à vitre; 9.V.2009; SEAG leg.; coll. DM • 1 ♂; Roura, Montagne aux chevaux, RN2, PK22, Carrière du Galion; piège à vitre; 27.VI.2009; SEAG leg.; coll. DM • 5 ♂; [Régina], Nouragues, Saut Pararé; 04°02'26.8"N, 52°40'35.2"W; piège lumineux; 20.VII.2009; SEAG leg.; coll. DM • 1 ♀; Roura, Montagne aux chevaux, RN2, PK22, Carrière du Galion; piège à vitre; 23.VII.2009; SEAG leg.; coll. DM • 1 ♂; [Régina], Nouragues, Saut Pararé; 04°02'26.8"N, 52°40'35.2"W; piège lumineux; 23.VII.2009; SEAG leg.; coll. DM • 2 ♂; [Régina], Nouragues, Saut Pararé; 04°02'26.8"N, 52°40'35.2"W; piège à vitre; 25.VII.2009; SEAG leg.; coll. DM • 2 ♂, 2 ♀; [Régina], Nouragues, Saut Pararé; 04°02'26.8"N, 52°40'35.2"W; piège à vitre; 4.VIII.2009; SEAG leg.; coll. DM • 4 ♂, 1 ♀; [Régina], Nouragues, Saut Pararé; 04°02'26.8"N, 52°40'35.2"W; piège à vitre; 11.VIII.2009; SEAG leg.; coll. DM • 1 ♂, 3 ♀; [Régina], Nouragues, Saut Pararé; 04°02'26.8"N, 52°40'35.2"W; piège à vitre; 24.VIII.2009; SEAG leg.; coll. DM • 1 ♂; [Régina], Nouragues, Saut Pararé; 04°02'26.8"N, 52°40'35.2"W; piège à vitre; 3.IX.2009; SEAG leg.; coll. DM • 3 ♂, 1 ♀, 1 ind; [Régina], Nouragues, Saut Pararé; 04°02'26.8"N, 52°40'35.2"W; piège à vitre; 13.IX.2009; SEAG leg.; coll. DM • 3 ♂, 2 ♀; [Régina], Nouragues, Saut Pararé; 04°02'26.8"N, 52°40'35.2"W; piège à vitre; 20.IX.2009; SEAG leg.; coll. DM • 5 ♂, 1 ♀; [Régina], Nouragues, Saut Pararé; 04°02'26.8"N, 52°40'35.2"W; piège à vitre; 22.IX.2009; SEAG leg.; coll. DM • 3 ♂; [Régina], Nouragues, Saut Pararé; 04°02'26.8"N, 52°40'35.2"W; piège à vitre; 30.IX.2009; SEAG leg.; coll. DM • 3 ♂, 2 ♀; [Régina], Nouragues, Saut Pararé; 04°02'26.8"N, 52°40'35.2"W; piège à vitre; 10.X.2009; SEAG leg.; coll. DM • 4 ♂; Roura, Montagne aux chevaux, RN2, PK22, Carrière du Galion; piège à vitre; 1.XI.2009; SEAG leg.; coll. DM • 2 ♂, 2 ♀; [Régina], Nouragues, Saut Pararé; 04°02'26.8"N, 52°40'35.2"W; piège à vitre; 23.XI.2009; SEAG leg.; coll. DM • 1 ♂; [Régina], Nouragues, Saut Pararé; 04°02'26.8"N, 52°40'35.2"W; piège à vitre; 5.II.2010; SEAG leg.; coll. DM • 1 ♂; [Camopi], Mont Itoupé; 03°01'19"N, 53°05'03"W; alt. 800 m; piège à intercep-

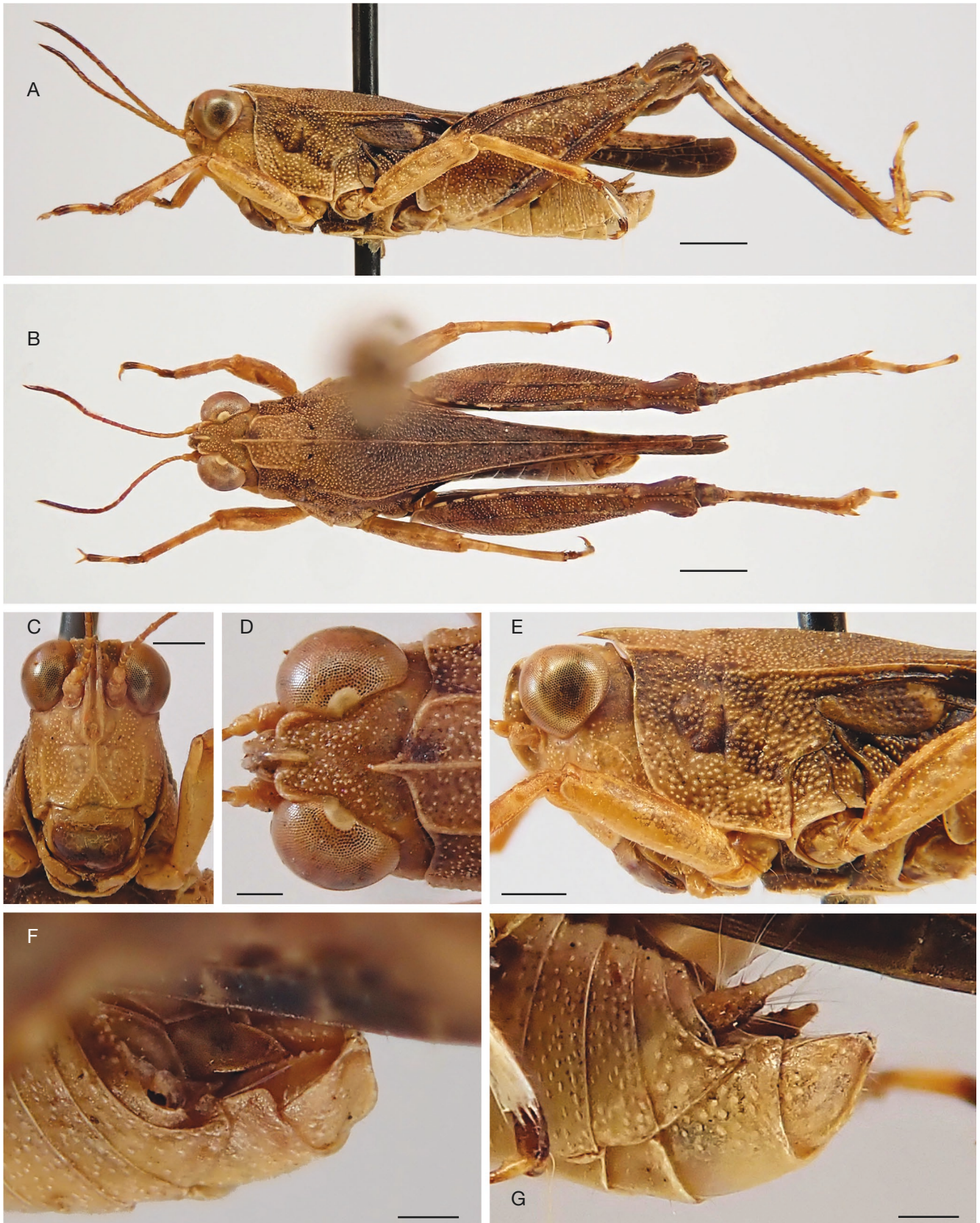


FIG. 11. — Mâle de *Tettigidea pulchella* Rehn, 1904, MNHN-EO-CAELIF11289 : **A**, habitus en vue latérale ; **B**, habitus en vue dorsale ; **C**, tête vue de face ; **D**, tête en vue dorsale ; **E**, tête et partie antérieure du pronotum en vue latérale ; **F**, extrémité de l'abdomen en vue dorsale ; **G**, extrémité de l'abdomen en vue latérale. Photos : G. Doucet. Échelles : A, B, 1 mm ; C, E, 0,5 mm ; D, F, G, 0,25 mm.

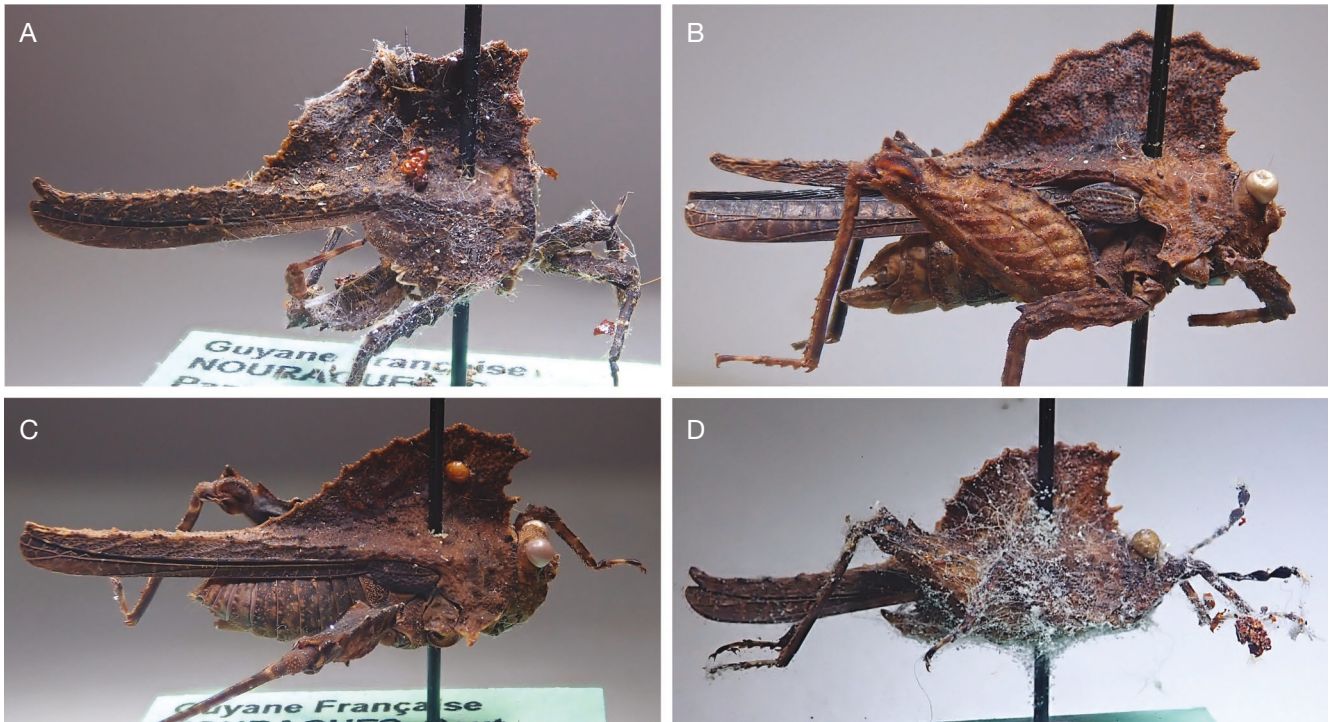


FIG. 12. — Vues latérales des 4 spécimens de *Lophotettix* conservés dans la collection Didier Morin : **A**, *Lophotettix alticristatus* Hancock, 1909 ; **B-D**, 3 individus de *Lophotettix hancocki* (Bruner, 1910). Photos : G. Doucet.

tion vitré; 24.III.2010; SEAG leg.; coll. DM • 1 ♂; [Maripasoula], Mont Itoupé; 03°01'23"N, 53°05'44"W; alt. 570 m; piège à vitre; 31.III.2010; SEAG leg.; coll. DM • 2 ♂; Régina, RN des Nouragues, Saut Pararé; 11.XII.2010; SEAG leg.; coll. DM.

REMARQUE

Initialement connu d'un seul spécimen mâle, et donc considéré comme rarissime, les deux collections étudiées apportent un lot important d'individus, et notamment un échantillon considérable de femelles (17 spécimens) qui nous permet d'en proposer ici une description.

DESCRIPTION

Femelle

Coloration générale (Fig. 13A, B, D). Corps brun foncé excepté le dessus de la tête, la moitié supérieure de la face et la prozone du pronotum bruns clairs. Carènes de la prozone noirâtres. Deux derniers articles des antennes blancs. Moitié antérieure des tarsi postérieurs plus claire. Ocelles blanchâtres.

Tête (Fig. 13C-E). Tête aussi large que la partie antérieure du pronotum. Tégument fortement granuleux. Antennes composées de 14 articles, ces derniers étant filiformes en partie basale puis nettement aplatis au niveau des trois derniers. En vue latérale, côte frontale régulièrement arrondie, sans angle marqué. Carènes faciales atteignant tout juste les scapes antennaires. En vue frontale, antennes insérées au niveau de la ligne reliant le bas des yeux. Côte frontale bifurquée au niveau du milieu des yeux, ses carènes faciales fines, divergentes

(léger ovale), formant un scutellum large, englobant l'ocelle médian situé nettement sous les antennes. Ocelles latéraux positionnés en dessous du milieu des yeux, sous la bifurcation de la côte frontale. Dernier article du palpe maxillaire légèrement dilaté et aplati. En vue dorsale, yeux dépassant le fastigium. Fastigium court et large, laissant apparaître la côte frontale et les ocelles latéraux. Vertex présentant sur toute sa longueur une carène médiane très émoussée. Espace interoculaire (1,04 mm) 1,6 fois plus large que l'œil (0,65 mm). Palpe maxillaire droit manquant.

Pronotum (Fig. 13A, D, E). Macropronotal, l'extrémité du pronotum dépassant très largement les genoux des pattes postérieures et l'extrémité de l'abdomen. En vue dorsale, carène médiane bien visible sur toute sa longueur. Présence de deux carènes internes latérales bien visibles et de deux carènes prozonales. Bord antérieur du pronotum droit. Lobes latéraux dirigés vers le bas et légèrement arrondis. En vue latérale, pronotum plat excepté une bosse peu élevée au niveau du mésothorax.

Ailes (Fig. 13A, E). Tegmina et ailes postérieures présents. Tegmina elliptiques, longs de 1,88 mm, sans tache et à nervation bien visible. Ailes postérieures (12,32 mm) 6,6 fois plus longues que les tegmina, dépassant nettement l'extrémité du pronotum.

Pattes (Fig. 13A, E). Présence d'une carène dorsale droite (non lobée ou sinuée) bien visible sur les pattes antérieures et médianes. Fémurs des pattes antérieures trapus, 4,75 fois

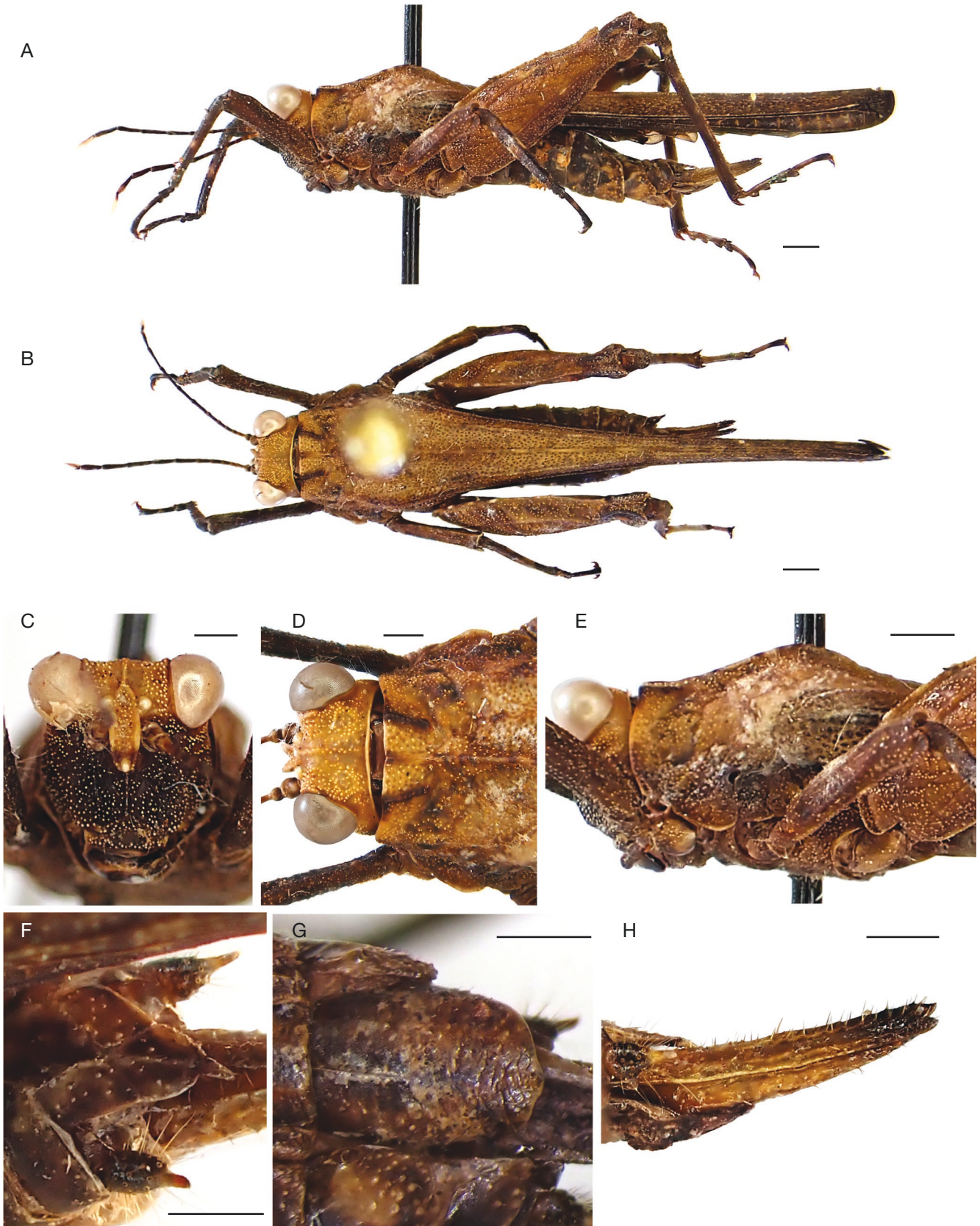


FIG. 13. — Femelle de *Phelene maroon* Cadena-Castañeda & Tumbrinck, 2021 originaire de Régina (Nouragues, Saut-Pararé), 24.VIII.2009, coll. DM : **A**, habitus en vue latérale; **B**, habitus en vue dorsale; **C**, tête vue de face; **D**, tête en vue dorsale; **E**, tête et partie antérieure du pronotum en vue latérale; **F**, extrémité de l'abdomen en vue dorsale; **G**, extrémité de l'abdomen en vue ventrale; **H**, ovipositeur en vue latérale. Photos : G. Doucet. Échelles : A, B, E, 1 mm; C, D, F-H, 0,5 mm.

plus longs que larges. Fémurs des pattes médianes trapus, quatre fois plus longs que larges. Fémurs des pattes postérieures trois fois plus longs que larges.

Abdomen (Fig. 13F-H). Épiprocte se terminant en un processus pointu. Cerques coniques avec une base large, se rétrécissant brusquement vers leur milieu et terminés par une pointe allongée. En vue ventrale, plaque sous-génitale de forme arrondie, avec un léger lobe apical et dotée d'une fine carène médiane s'étirant depuis la base jusqu'au milieu, non visible ensuite. Ovipositeur très fin et élancé, sa longueur 6,4 fois la hauteur de la valve dorsale. Valves dorsales pourvues sur le dessus de petites dents très émoussées. Ovipositeur environ 1,8 fois la longueur de la plaque sous-génitale.

Mensurations. LC 14,66 mm; LP 13,70 mm; WT 2,34 mm; WO 0,65 mm; EIO 1,04 mm; LFA 2,86 mm; LFM 2,52 mm; LFP 5,81 mm; WFA 0,60 mm; WFM 0,63 mm; WFP 1,95 mm; LT 1,88 mm; LAP 12,32 mm; LPSG 1,25 mm.

*Phelene turgida** (Bolívar, 1887)
(Figs 14; 15G)

Nephele turgida Bolívar, 1887: 252. — Hancock 1907: 40.

Gladiotettix turgida – Bruner 1910: 101. — Liebermann 1955: 332.

Chiriquia turgida – Cadena-Castañeda & Cardona 2015: 477.

Phelene turgida – Kirby 1910: 23. — Paris 1994: 252. — Cadena-Castañeda *et al.* 2021: 358.

LOCALITÉ TYPE. — Pérou, Hautes Amazones.

DISTRIBUTION. — Pérou, Brésil (Liebermann 1955; Cadena-Castañeda *et al.* 2021) et Guyane (nouveau pour le département).

MATÉRIEL EXAMINÉ. — **Guyane** • 1 ♀; [Saint-Laurent-du-Maroni], Saint-Jean-du-Maroni; collection Le Moul, collection Lucien Chopard 1914; MNHN-EO-CAELIF11304 • 1 ♀; [Saint-Laurent-du-Maroni], Nouveau Chantier; juillet; collection Le Moul, collection Lucien Chopard 1914; MNHN-EO-CAELIF11305 • 1 ♂; [Saül], Forêt de Saül; piège lumineux; 28.X.1969; Balachowsky-Gruner leg.; MNHN-EO-CAELIF11306 • 1 ind; [Sinnamary], Petit Saut; 20.X.1989; Aberlenc leg.; coll. DM • 5 ♂, 2 ♀; [Roura], Montagne de Kaw, PK39; arbre 5; 17.VIII-23.VIII.1994; P. E. Roubaud leg.; MNHN-EO-CAELIF11307-MNHN-EO-CAELIF11313 • 1 ♂; [Régina], Patawa; 29.XI.2001; R. Roy leg.; MNHN-EO-CAELIF11314 • 1 ind; Roura, Montagne aux chevaux, RN2, PK22, Carrière du Galion; piège lumineux; XI.2008; SEAG leg.; coll. DM • 1 ind; Roura, Montagne aux chevaux, RN2, PK22, Carrière du Galion; piège à vitre; 9.XI.2008; SEAG leg.; coll. DM • 1 ♀; Roura, Montagne aux chevaux, RN2, PK22, Carrière du Galion; piège à vitre; 13.II.2009; SEAG leg.; coll. DM • 1 ♀; Roura, Montagne aux chevaux, RN2, PK22, Carrière du Galion; piège à vitre; 11.IV.2009; SEAG leg.; coll. DM • 1 ♂; Roura, Montagne aux chevaux, RN2, PK22, Carrière du Galion; piège à vitre; 24.IV.2009; SEAG leg.; coll. DM • 1 ind; Roura, Montagne aux chevaux, RN2, PK22, Carrière du Galion; piège à vitre; 5.V.2009; SEAG leg.; coll. DM • 1 ♀; Roura, Montagne aux chevaux, RN2, PK22, Carrière du Galion; piège à vitre; 6.VI.2009; SEAG leg.; coll. DM • 2 ♂; Roura, Montagne aux chevaux, RN2, PK22, Carrière du Galion; piège à vitre; 9.VII.2009; SEAG leg.; coll. DM • 1 ♂; [Régina], Nouragues, Saut Pararé; 04°02'26.8"N, 52°40'35.2"W; piège lumineux; 20.VII.2009; SEAG leg.; coll. DM •

1 ♂; [Régina], Nouragues, Saut Pararé; 04°02'26.8"N, 52°40'35.2"W; piège à vitre; 24.VIII.2009; SEAG leg.; coll. DM • 1 ♀; [Régina], Nouragues, Saut Pararé; 04°02'26.8"N, 52°40'35.2"W; piège à vitre; 3.IX.2009; SEAG leg.; coll. DM • 3 ♂; [Régina], Nouragues, Saut Pararé; 04°02'26.8"N, 52°40'35.2"W; piège à vitre; 8.IX.2009; SEAG leg.; coll. DM • 2 ♂, 1 ♀; [Régina], Nouragues, Saut Pararé; 04°02'26.8"N, 52°40'35.2"W; piège à vitre; 20.IX.2009; SEAG leg.; coll. DM • 2 ♂; [Régina], Nouragues, Saut Pararé; 04°02'26.8"N, 52°40'35.2"W; piège à vitre; 22.IX.2009; SEAG leg.; coll. DM • 1 ♀; Roura, Montagne aux chevaux, RN2, PK22, Carrière du Galion; piège à vitre; 26.IX.2009; SEAG leg.; coll. DM • 1 ♂; [Régina], Nouragues, Saut Pararé; 04°02'26.8"N, 52°40'35.2"W; piège à vitre; 30.IX.2009; SEAG leg.; coll. DM • 1 ♂; [Régina], Nouragues, Saut Pararé; 04°02'26.8"N, 52°40'35.2"W; piège à vitre; 20.X.2009; SEAG leg.; coll. DM • 1 ♂, 1 ♀; [Régina], Nouragues, Saut Pararé; 04°02'26.8"N, 52°40'35.2"W; piège à vitre; 1.XI.2009; SEAG leg.; coll. DM • 2 ♀, 1 ind; [Roura], Réserve Trésor, route de Kaw, PK18; 04°36'37.6"N, 52°16'44.5"W; alt. 225 m; piège à vitre; 21.XI.2009; SEAG leg.; coll. DM • 1 ♂, 2 ♀; [Régina], Nouragues, Saut Pararé; 04°02'26.8"N, 52°40'35.2"W; piège à vitre; 23.XI.2009; SEAG leg.; coll. DM • 2 ♂; [Roura], Réserve Trésor, route de Kaw, PK18; 04°36'37.6"N, 52°16'44.5"W; alt. 225 m; piège à vitre; 29.XI.2009; SEAG leg.; coll. DM • 1 ♀; Roura, Montagne aux chevaux, RN2, PK22, Carrière du Galion; piège à vitre; 13.XII.2009; SEAG leg.; coll. DM • 1 ♂; Roura, Montagne aux chevaux, RN2, PK22, Carrière du Galion; piège à vitre; 9.I.2010; SEAG leg.; coll. DM • 1 ♀; [Régina], Nouragues, Saut Pararé; 04°02'26.8"N, 52°40'35.2"W; piège à vitre; 5.II.2010; SEAG leg.; coll. DM • 1 ♀; [Camopi], Mont Itoupé; 03°01'19"N, 53°05'03"W; alt. 800 m; piège à interception vitré; 17.III.2010; SEAG leg.; coll. DM • 1 ♂; [Maripasoula], Mont Itoupé; 03°01'23"N, 53°05'44"W; alt. 570 m; piège à interception vitré; 17.III.2010; SEAG leg.; coll. DM • 1 ♀; [Maripasoula], Mont Itoupé; 03°01'49"N, 53°06'24"W; alt. 400 m; piège Polytrap; 17.III.2010; SEAG leg.; coll. DM • 1 ind; [Maripasoula], Mont Itoupé; 03°01'20"N, 53°05'41"W; alt. 600 m; piège à interception vitré; 23.III.2010; SEAG leg.; coll. DM • 1 ♂; Régina, Petite Montagne Tortue, sable blanc; 04°19'14.1N, 52°14'27.5W; 28.V.2010; G. Lamarre leg.; coll. DM • 1 ♀; Régina, RN des Nouragues, Grand Plateau; piège à vitre; 9.IX.2010; SEAG leg.; coll. DM • 1 ♂, 2 ♀; Régina, RN des Nouragues, Saut Pararé; 11.XII.2010; SEAG leg.; coll. DM.

NOUVELLE CLÉ D'IDENTIFICATION DES BATRACHIDEINAE ET LOPHOTETTIGINAE DE GUYANE

Une première clé d'identification des Tetrigidae cités de Guyane a été proposée dans Itrac-Bruneau & Doucet (2022). Cependant, compte-tenu des avancées apportées par ce travail, une mise à jour était nécessaire et est présentée ici pour les deux sous-familles étudiées. Les ouvrages consultés pour l'établir sont : Grant 1955; Tumbrinck 2014; Cadena-Castañeda *et al.* 2019, 2021; Kasalo *et al.* 2021, 2022; Silva *et al.* 2021; Itrac-Bruneau & Doucet 2022. Suite à la révision des individus de *Lophotettix*, *L. unicastatus* a été exclu des espèces du territoire et ne figure donc plus dans la clé.

Plusieurs espèces potentielles ont été signalées aux environs de la Guyane (Suriname, Guyana ou Nord du Brésil (États d'Amapá et Pará)), et notamment *Rehmidium omnivagum* Grant, 1956, *Scaria ferruginea* Hancock, 1909, *Tettigidea glabrata* Bruner, 1920 et *Tettigidea scudderi* Bolívar, 1887 (Cadena-Castañeda *et al.* 2019; Silva *et al.* 2021). La découverte de nouvelles espèces pour la science n'est également pas à exclure. Aussi, il convient d'être vigilant quant à l'utilisation de cette clé et de consulter également en parallèle les documents et sites de référence afin de s'assurer de l'identification correcte des spécimens.



FIG. 14. — Mâle de *Phelene turgida* (Bolívar, 1887) originaire de Régina (Nouragues, Saut Pararé), 11.XII.2010, coll. DM : **A**, habitus en vue latérale; **B**, habitus en vue dorsale; **C**, tête vue de face; **D**, tête et partie antérieure du pronotum en vue dorsale. Photos : G. Doucet.

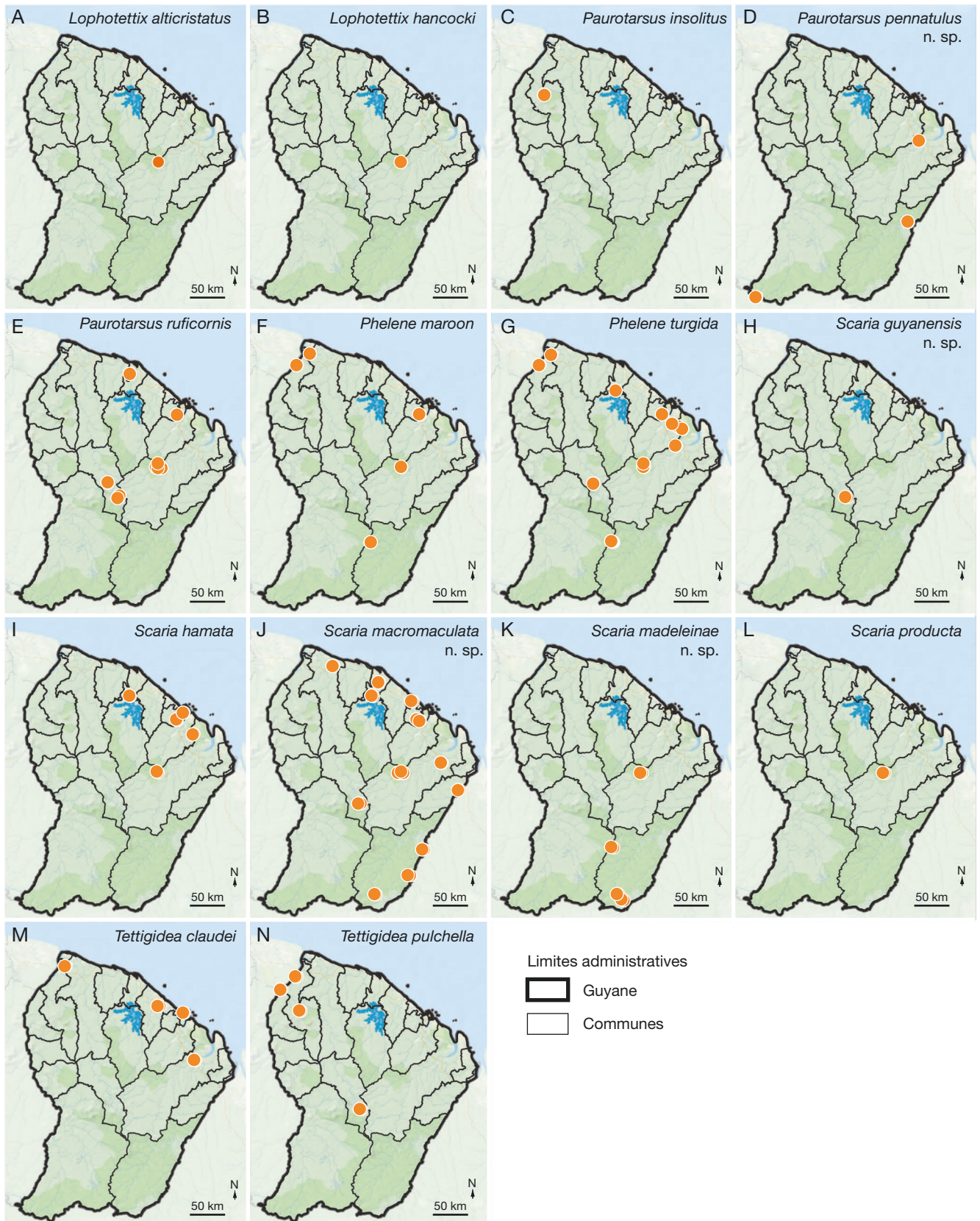


FIG. 15. — Distribution en Guyane des 14 espèces de Batrachideinae Bolívar, 1887 et Lophotettiginae Hancock, 1909 identifiées dans les deux collections étudiées. Sources : Wikimedia Maps © les contributeurs d'OpenStreetMap sous licence ODbL. Réalisé avec Qgis.

CLÉ D'IDENTIFICATION DES TETRIGIDAE ADULTES DE GUYANE
APPARTENANT AUX BATRACHIDEINAE BOLÍVAR, 1887 ET LOPHOTETTIGINAE HANCOCK, 1909

1. Marge dorsale des fémurs médians avec un net sillon délimité par deux carènes émoussées. Antennes fines et filiformes composées d'au moins 19 segments 2 (Batrachideinae)
- Marge dorsale des fémurs médians avec une carène bien développée. Antennes avec les articles considérablement élargis et aplatis (parfois seulement les segments apicaux) et composées de moins de 15 segments 11 (Lophotettiginae)

2. Bord antérieur du pronotum droit, sans épine. Vertex très large, plus de 1,7 fois plus large qu'un œil. Carène médiane présentant une encoche à la fin de la prozone 3
- Bord antérieur du pronotum prolongé par une épine. Vertex étroit, moins de 1,6 fois plus large qu'un œil. Carène médiane sans encoche à la fin de la prozone 5

3. Premiers et troisièmes articles des tarsi des pattes postérieures ayant sensiblement la même longueur. Carènes faciales fines. Fémurs médians trapus. Lobes latéraux du pronotum s'écartant légèrement du corps *Paurotarsus insolitus* Rehn, 1916
- Premiers articles des tarsi des pattes postérieures au moins 2 fois plus longs que les troisièmes articles. Carène faciale émoussée. Fémurs médians allongés. Lobes latéraux du pronotum contigus au corps 4

4. Pronotum dépassant les genoux des pattes postérieures. Tegmina bien développés. Ailes postérieures présentes et bien développées, atteignant ou dépassant l'extrémité du pronotum. Carène médiane du pronotum plate *Paurotarsus ruficornis* (Walker, 1871)
- Pronotum plus court que les genoux des pattes postérieures. Tegmina réduits, en forme de grain de riz. Ailes postérieures parfois non visibles et si visibles dépassant à peine les tegmina. Carène médiane du pronotum légèrement relevée en toit *Paurotarsus pennatulus* n. sp.

5. Épine du pronotum très développée et crochue englobant une partie de la tête 6
- Épine du bord antérieur du pronotum plus petite, jamais en forme de crochet 10

6. Absence de bande post-oculaire 7
- Présence de bandes post-oculaires 8

7. Présence d'ondulations (deux ou trois lobes) sur la carène dorsale des fémurs postérieurs, ces ondulations portant des taches jaunes. Partie antérieure du pronotum fortement relevée. Présence d'une seule tache nette et bien délimitée sur les tegmina (si présence d'une seconde tache, celle-ci est diffuse). Femelle : plaque sous-génitale en pointe (vue latérale) et absence d'épine terminale sur la valve dorsale de l'ovipositeur, ou bien celle-ci très émoussée *Scaria producta* Hancock, 1907
- Absence de lobe sur la carène dorsale des fémurs postérieurs. Partie antérieure du pronotum légèrement relevée. Présence de deux taches nettes et bien délimitées sur les tegmina. Femelle : plaque sous-génitale doublement échancrée (en forme de « 3 ») et présence d'une épine terminale sur la valve dorsale de l'ovipositeur *Scaria guyanensis* Doucet & Itac-Bruneau, n. sp.

8. Absence de tache sur les tegmina. Fémurs antérieurs et médians allongés (rapport longueur sur largeur supérieur à 5,5) *Scaria madeleineae* n. sp.
- Présence d'une tache sur chaque tegmen. Fémurs antérieurs et médians trapus (rapport longueur sur largeur inférieur à 5,5) 9

9. Tache des tegmina grande (recouvrant au moins 40 % de l'aile). Femelle : plaque sous-génitale doublement échancrée (en forme de « 3 »). Mâle : extrémité de l'abdomen compact *Scaria macromaculata* Doucet & Itac-Bruneau, n. sp.
- Tache des tegmina plus petite (moins de la moitié de la longueur de ces derniers). Femelle : plaque sous-génitale invaginée en son milieu. Mâle : extrémité de l'abdomen allongée *Scaria hamata* (De Geer, 1773)

10. Une tache claire oblique sur chaque tegmen. Ailes postérieures nettement développées, dépassant l'extrémité du pronotum. Absence de carènes dorsales supplémentaires de chaque côté de la carène médiane *Tettigidea pulchella* Rehn, 1904
- Tegmina sans tache. Ailes postérieures faiblement développées, n'atteignant pas l'extrémité du pronotum. Présence de carènes dorsales supplémentaires de chaque côté de la carène médiane *Tettigidea claudaei* Itac-Bruneau et Doucet, 2022

11. Carène du pronotum foliacée formant une crête hautement élevée et compressée 12
- Carène du pronotum non foliacée (faiblement élevée, tout au plus onduleuse) 13

12. Bord antérieur de la crête perpendiculaire au pronotum (vue latérale) *Lophotettix alticristatus* Hancock, 1909
 — Bord antérieur de la crête légèrement concave et dotée de 2 protubérances, une forte et une émoussée (vue latérale) *Lophotettix hancocki* (Bruner, 1910)
13. Carène médiane du pronotum présentant une grande bosse au niveau du méso et métathorax. Lobes latéraux du pronotum s'écartant légèrement du corps et se terminant en une pointe émoussée *Phelene turgida* (Bolívar, 1887)
 — Carène médiane du pronotum présentant une bosse plus petite. Lobes latéraux du pronotum contigus au corps et tronqués *Phelene maroon* Cadena-Castañeda & Tumbrinck, 2021

DISCUSSION

L'étude des collections du MNHN et de Didier Morin a permis de recenser 14 espèces appartenant aux Batrachideinae et Lophotettiginae, dont 11 sont nouvelles pour la Guyane. Le nombre d'espèces connues pour ces deux groupes taxonomiques dans le département a donc triplé par rapport à la première synthèse publiée en 2022 (Itrac-Bruneau & Doucet 2022). En outre, ce matériel a permis la description de quatre taxons nouveaux pour la science appartenant aux Batrachideinae : *Paurotarsus pennatulus* n. sp., *Scaria guyanensis* Doucet & Itrac-Bruneau, n. sp., *Scaria macromaculata* Doucet & Itrac-Bruneau, n. sp. et *Scaria madeleinae* n. sp.

La connaissance de plusieurs espèces jusqu'ici considérées comme rares a grandement progressé. Ainsi, 65 nouveaux individus de *Phelene maroon* Cadena-Castañeda & Tumbrinck, 2021, dont 17 femelles, sont maintenant répertoriés, alors que l'espèce n'était connue que d'un unique spécimen mâle lors de sa description (Cadena-Castañeda et al. 2021). Cet échantillon de femelles a notamment servi à caractériser ce sexe jusqu'ici non décrit. Il en est de même pour le mâle de *Tettigidea pulchella* Rehn, 1904. En outre, la répartition d'espèces déjà connues s'est vue améliorée, comme par exemple celle de *Paurotarsus ruficornis* (Walker, 1871), initialement répertorié seulement du marais de Kaw et aujourd'hui mentionné d'une dizaine de stations à travers le département.

Préalablement intégré dans la première synthèse sur la base d'une donnée bibliographique, *Lophotettix unicristatus* Hancock, 1909 a finalement été écarté des espèces présentes sur le territoire. En effet, la révision des spécimens conservés dans la collection de Didier Morin a amené à les attribuer à deux autres espèces du genre, *Lophotettix alticristatus* Hancock, 1909 et *Lophotettix hancocki* (Bruner, 1910). Toutefois, les différences entre *L. unicristatus* et *L. hancocki* sont ténues et principalement liées au nombre de protubérances sur la marge antérieure de la crête (Kasalo et al. 2022). Bien que ce critère diagnostique soit vérifié chez les trois individus examinés ici, il est difficile de trancher sur l'existence de deux espèces distinctes ou d'une seule et même espèce présentant une variabilité morphologique marquée, comme le suggère Kasalo et al. (2022) dans leur révision du genre. Un travail sur un lot plus conséquent doublé d'une approche génétique seraient nécessaires pour statuer.

S'il est difficile de déduire avec certitude des informations sur l'écologie des espèces à partir des informations accompagnant les individus, il est néanmoins possible d'émettre des hypothèses concernant le caractère dendrophile de *Scaria madeleinae* et *Scaria producta*, pour lesquelles la quasi-totalité des spécimens a été collectée en prospectant les arbres tombés au sol immédiatement après leur abattage.

La complémentarité des lieux (44 stations réparties sur 15 communes), des habitats prospectés (savane, forêt primaire, amont et aval des fleuves, inselberg...) et des méthodes de collecte (chasse à vue, pièges d'interception, pièges lumineux...) lors des différentes missions donne une image assez représentative de la diversité des deux sous-familles dans le département. Morin prévoyait une richesse spécifique comprise entre 18 et 27 espèces de Tetrigidae pour la Guyane (Brûlé & Touroult 2014). À l'issue de la première synthèse (Itrac-Bruneau & Doucet 2022) et du présent travail, il apparaît que 24 espèces sont d'ors et déjà connues. La révision des deux collections pour les deux sous-familles restantes (Metrodorinae et Tetriginae), comptabilisant plus de 500 spécimens, devrait également apporter son lot de découvertes et aboutir à une diversité globale comprise entre 30 et 40 espèces. D'autres collections renferment également des individus qui pourraient consolider ce travail, à l'instar du Museo Civico di Rovereto ou de l'Institut royal des Sciences naturelles de Belgique.

Remerciements

Nous souhaitons adresser nos vifs remerciements à Laure Desutter-Grandcolas (conservatrice des collections d'orthoptères au MNHN) ainsi qu'à Didier Morin pour avoir accepté de nous confier des spécimens en vue de notre étude. Nous remercions également chaleureusement Josip Skejo et Niko Kasalo pour leurs nombreux conseils et réponses à nos questions concernant l'identification de certains individus problématiques, ainsi que pour avoir accepté d'endosser la mission de relecteurs, leurs remarques avisées nous ayant permis de bonifier cet article. Nous adressons également notre gratitude à Hendrik Devriese pour l'envoi complémentaire de spécimens de la collection Didier Morin ainsi qu'à Stéphane Puissant (Muséum d'Histoire naturelle de Dijon) pour la réception des boîtes et leur mise en quarantaine. Nous sommes aussi reconnaissants envers Anne Mabillet et Laure Desutter-Grandcolas pour leur aide apportée à la rédaction de ce manuscrit.

RÉFÉRENCES

- BALACHOWSKY A. S. 1970. — La mission d'exploration entomologique du Muséum national d'Histoire naturelle en Guyane française (octobre-décembre 1969) - Introduction. *Annales de la Société entomologique de France (Nouvelle Série)* 6 (3): 563-570
- BOLÍVAR I. 1887. — Essai sur les Acridiens de la tribu des Tettigidae. *Annales de la Société entomologique de Belgique* 31: 175-313. <https://www.biodiversitylibrary.org/page/12279407>
- BOULARD M. 1979. — Missions entomologiques en Guyane et au Brésil. Introduction, notes de chasses et principaux résultats. *Bulletin de la Société entomologique de France* 84 (5-6): 101-117
- BRÛLÉ S. & TOUROULT J. 2014. — Insects of French Guiana: a baseline for diversity and taxonomic effort. *ZooKeys* 434: 111-130. <https://doi.org/10.3897/zookeys.434.7582>
- BRUNER L. 1910. — South American Tettigidae. *Annals of the Carnegie Museum* 7: 89-143. <https://www.biodiversitylibrary.org/page/9956696>
- BRUNER L. 1920. — Saltatorial Orthoptera from South America and the Isle of Pines. *Annals of the Carnegie Museum* 13 (1-2): 5-91. <https://www.biodiversitylibrary.org/page/9957944#page/19>
- CADENA-CASTAÑEDA O. J. & CARDONA J. M. 2015. — *Introducción a los saltamontes de Colombia: (Orthoptera: Caelitera, Acridomorpha, Tetrigoidea & Tridactyloidea)*. Lulu.com, Raleigh, North Carolina, 534 p.
- CADENA-CASTAÑEDA O. J., MENDES D. M. D. M., SILVA D. S. M., CARDONA J. M., GARCÍA A. G. & TUMBRINCK J. 2019. — Systematics and biogeography of the genus *Scaria* Bolívar, 1887 (Orthoptera: Tettigidae: Batrachideinae). *Zootaxa* 4675 (1): 1-65. <https://doi.org/10.11646/zootaxa.4675.1.1>
- CADENA-CASTAÑEDA O. J., DÍAZ C. J. A., SILVA D. S. M., BUITRAGO O., GARCÍA A. G. & TUMBRINCK J. 2021. — Review of the status of the genus *Phelene* stat. resurrect. (Orthoptera: Tettigidae: Lophotettiginae) and description of a new species. *Zootaxa* 4980 (2): 355-365. <https://doi.org/10.11646/zootaxa.4980.2.6>
- CIGLIANO M. M., BRAUN H., EADES D. C. & OTTE D. 2023. — Orthoptera Species File. Version 5.0/5.0. <http://orthoptera.speciesfile.org> (dernière consultation le 4 janvier 2023).
- DALENS P.-H., BRÛLÉ S. & TOUROULT J. 2011. — *Résultats de l'inventaire entomologique du site de Saut Pararé, réserve des Nouragues (Guyane), 2009-2010*. Société entomologique Antilles-Guyane, Remire-Montjoly, 120 p.
- DE GEER C. 1773. — *Mémoires pour servir à l'histoire des insectes. Tome 3*. Pierre Hasselberg, Stockholm, 696 p.
- DESCAMPS M. 1977. — Étude des écosystèmes guyanais. I – Eumastacoidea & Acridoidea dendrophiles (Orthoptera). *Annales de la Société entomologique de France (Nouvelle Série)* 13 (2): 193-236
- DESCAMPS M. 1978. — Étude des écosystèmes guyanais. III - Acridomorpha dendrophiles (Orthoptera Caelifera). *Annales de la Société Entomologique de France (N.S.)* 14 (3): 301-349
- DESUTTER L. 1990. — Étude phylogénétique, biogéographique et écologique des Grylloidea néotropicaux (Insectes, Orthoptères). Thèse de Doctorat, Univ. Paris XI, Orsay, 347 p.
- DEVRIESE H. 1996. — Bijdrage tot de systematiek, morfologie en biologie van de West-Palearktische Tettigidae. *Nieuwsbrief Saltabel* 15 (1): 2-38
- GRANT H. J. 1955. — Notes on the Neotropical Tettigid genus *Paurotarsus* Hancock, including the description of two new subspecies (Orthoptera: Acridoidea). *Notulae Naturae* 275: 1-14
- GRANT H. J. 1956. — The taxonomy of *Batrachidea*, *Puiggaria*, *Lophoscirtus*, *Eutettigidea* and *Rehndidium* n. gen. (Orthoptera; Acridoidea; Tettigidae). *Transactions of the American Entomological Society* 82: 67-108
- GRANT H. J. 1957. — Designation of the lectotypes and lectoallotypes of the Neotropical tettigid species in Carnegie Museum as described by Lawrence Bruner (Orthoptera: Acridoidea). *Annals of the Carnegie Museum* 35: 37-40. <https://www.biodiversitylibrary.org/page/52337431#page/47>
- GRANT H. J. 1962. — *A revision of the subfamily Batrachideinae (Orthoptera; Tettigidae)*. Thèse, University of Colorado, Colorado, 208 p.
- HANCOCK J. L. 1902. — *The Tettigidae of North America*. R. R. Donnelly and Sons, Chicago, 188 p.
- HANCOCK J. L. 1907. — Orthoptera Fam. Acridiidae. Subfam. Tettiginae. *Genera Insectorum* 48: 1-79. <https://www.biodiversitylibrary.org/page/33991518>
- HANCOCK J. L. 1909. — Further Studies of the Tettiginae (Orthoptera) in the Oxford University Museum. *Transactions of the Royal Entomological Society of London* 56 (3-4): 387-426. <https://doi.org/10.1111/j.1365-2311.1909.tb02160.x>
- HANCOCK J. L. 1914. — Some corrections in names of South American Tettiginae. *Entomological News* 25: 328. <https://www.biodiversitylibrary.org/page/2629035>
- HOFF M. & CREMERS G. 1996. — *Index des noms de lieux des récoltes botaniques en Guyane française*. Silvolab-Guyane, Kourou, 153 p. (Studies on the Flora of the Guianas; 77).
- INTERNATIONAL COMMISSION ON ZOOLOGICAL NOMENCLATURE 1999. — *International Code of Zoological Nomenclature*. The International Trust for Zoological Nomenclature, London, 306 p.
- ITRAC-BRUNEAU R. & DOUCET G. 2022. — Contribution à la connaissance des Tettigidae (Orthoptera) de Guyane. *Zoosystema* 44 (14): 405-421. <https://doi.org/10.5252/zoosystema2022v44a14>. <http://zoosystema.com/44/14>
- KASALO N., DERANJA M., ADŽIĆ K., SINDACO R. & SKEJO J. 2021. — Discovering insect species based on photographs only: The case of a nameless species of the genus *Scaria* (Orthoptera: Tettigidae). *Journal of Orthoptera Research* 30 (2): 173-184. <https://doi.org/10.3897/jor.30.65885>
- KASALO N., BERTNER P., AZNAR GONZÁLEZ DE RUEDA J. & SKEJO J. 2022. — The true nature of the genus *Lophotettix* Hancock, 1909 (Orthoptera: Tettigidae): a brief taxonomic revision. *Annales Zoologici* 72 (2): 223-234. <https://doi.org/10.3161/00034541ANZ2022.72.2.006>
- KASALO N., NASKRECKI P., REBRINA F. & SKEJO J. 2023a. — Central American Tettigidae Rambur, 1838 (Orthoptera): a preliminary catalogue. *Zoosystema* 45 (7): 176-212. <https://doi.org/10.5252/zoosystema2023v45a7>. <http://zoosystema.com/45/7>
- KASALO N., YONG S., REBRINA F. & SKEJO J. 2023b. — Definition of the tribe Metrodorini (Orthoptera: Tettigidae) with notes on biogeography and evolution of Metrodorinae and Cladonotinae. *Acta Entomologica Musei Nationalis Pragae* 63 (1): 187-193. <https://doi.org/10.37520/aemnp.2023.010>
- KIRBY W. F. 1910. — *A synonymic catalogue of Orthoptera. Vol III. Orthoptera Saltatoria. Part II (Locustidae vel Acridiidae)*. British Museum, London, 674 p.
- LIEBERMANN J. 1955. — Primeira relação sistemática dos acridoideos do Brasil. *Memórias do Instituto Oswaldo Cruz* 53 (2-3-4): 329-344
- PARIS M. 1994. — Catálogo de tipos de Ortopteroides (insecta) de Ignacio Bolívar, I: Blattaria, Mantodea, Phasmoptera y Orthoptera (Stenopelmatoidea, Rhaphidophoroidea, Tettigonioida, Grylloidea, Tetrigoidea). *Eos* 69 (1): 143-264
- REHN J. A. G. 1904. — Studies in the Orthopterous Subfamilies Acrydiinae (Tettiginae), Eumastacinae and Proscopinae. *Proceedings of the Academy of Natural Sciences of Philadelphia* 56 (3): 658-683
- REHN J. A. G. 1916. — The Stanford expedition to Brazil, 1911. Dermaptera and Orthoptera I. *Transactions of the American Entomological Society* 42 (3): 215-308
- SILVA D. S. M., CADENA-CASTAÑEDA O., DOMENICO F. C. D. & SPERBER C. 2019a. — New tribes, overview and checklist of Neotropical Cladonotinae (Orthoptera: Caelifera: Tettigidae). *Insecta Mundi* 0723: 1-38
- SILVA D. S. M., CADENA-CASTAÑEDA O. J., PEREIRA M. R., DOMENICO F. C. D. & SPERBER C. F. 2019b. — Review of *Lophotettix*, the sole member of the subfamily Lophotettiginae Hancock, 1909 (Insecta: Orthoptera: Caelifera: Tettigidae). *Zootaxa* 4686 (3): 346-360. <https://doi.org/10.11646/zootaxa.4686.3.2>

- SILVA D. S. M., CADENA-CASTAÑEDA O. J. & PEREIRA M. R. 2021. — Batrachideinae (Orthoptera: Caelifera: Tetrigidae): an overview of the most diverse tetrigids of the Neotropical region. *Zootaxa* 4946 (1): 1-84. <https://doi.org/10.11646/zootaxa.4946.1.1>
- STEINMANN H. 1969. — The Tetricidae (Orthoptera) of the Neogaea. *Folia entomologica hungarica* 22 (19): 383-404
- STOROZHENKO S. Y. & PUSHKAR T. I. 2017. — A New Genus of Pygmy Locusts (Orthoptera: Tetrigidae: Cladonotinae) from the Malay Peninsula. *Annales Zoologici* 67 (1): 47-53. <https://doi.org/10.3161/00034541ANZ2017.67.1.006>
- TOUROULT J., POLLET M. & PASCAL O. 2018. — Overview of Mitaraka survey: research frame, study site and field protocols. *Zoosystema* 40 (13): 327-365. <https://doi.org/10.5252/zoosystema2018v40a13>. <http://zoosystema.com/40/13>
- TOUROULT J., PASCAL O., BARNIER F. & POLLET M. 2021. — The “Our Planet Reviewed” Mitaraka 2015 expedition: a full account of its research outputs after six years and recommendations for future surveys. *Zoosystema* 43 (32): 811-833. <https://doi.org/10.5252/zoosystema2021v43a32>. <http://zoosystema.com/43/32>
- TUMBRINCK J. 2014. — Taxonomic revision of the Cladonotinae (Orthoptera: Tetrigidae) from the islands of South-East Asia and from Australia, with general remarks to the classification and morphology of the Tetrigidae and descriptions of new genera and species from New Guinea and New Caledonia, in TELNOV D. (éd.), *Biodiversity, Biogeography and Nature Conservation in Wallacea and New Guinea. Volume II*. The Entomological Society of Latvia, Riga: 345-396
- WALKER F. 1871. — *Catalogue of the specimens of Dermaptera Saltatoria in the collection of the British Museum Part 5*. British Museum, London: 811-850 p.

*Soumis le 23 février 2023;
accepté le 15 mai 2023;
publié le 24 octobre 2023.*